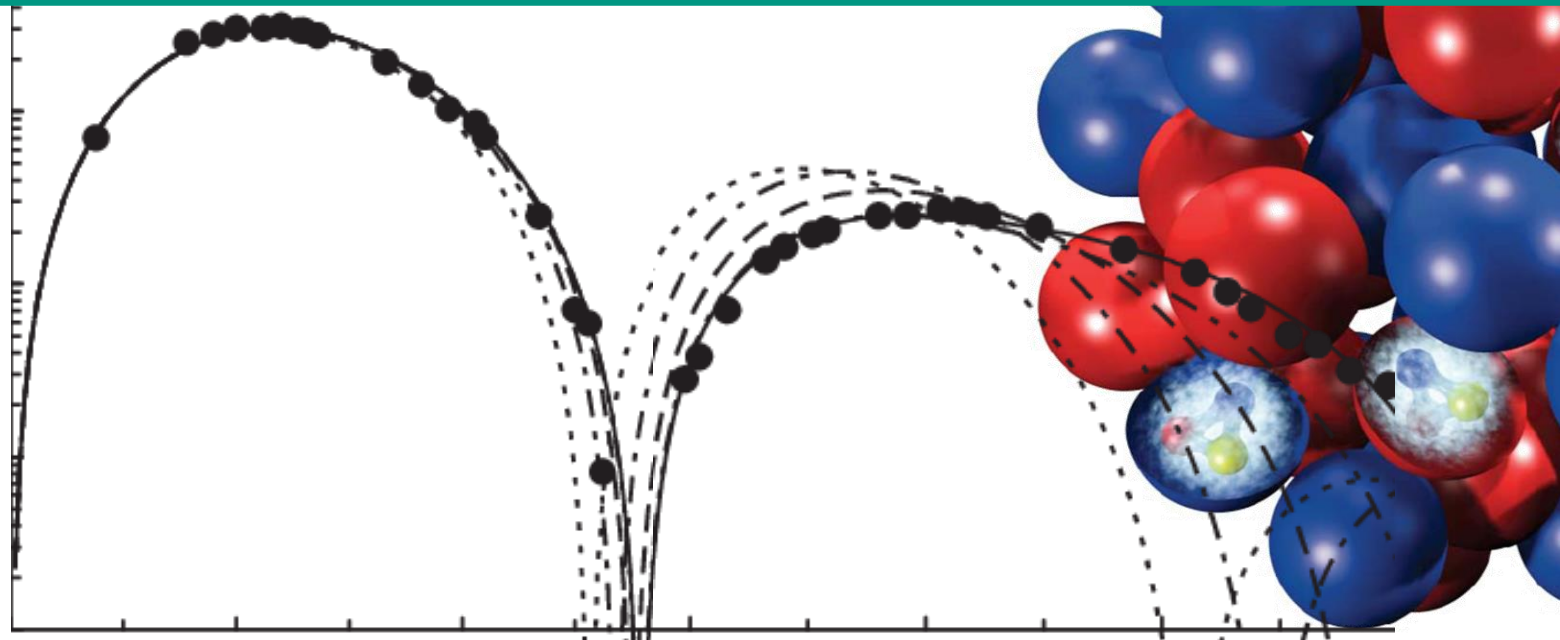
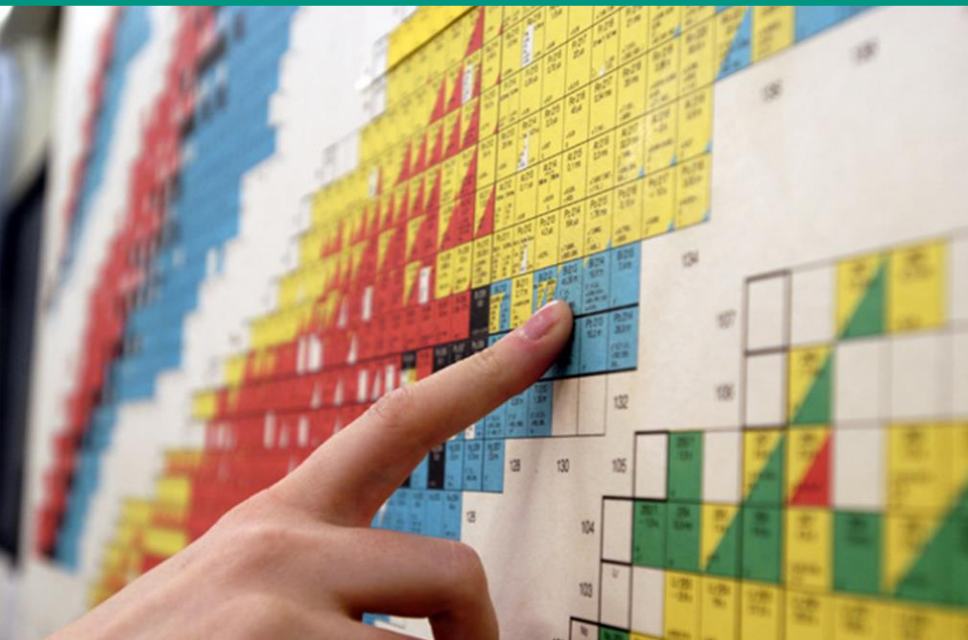


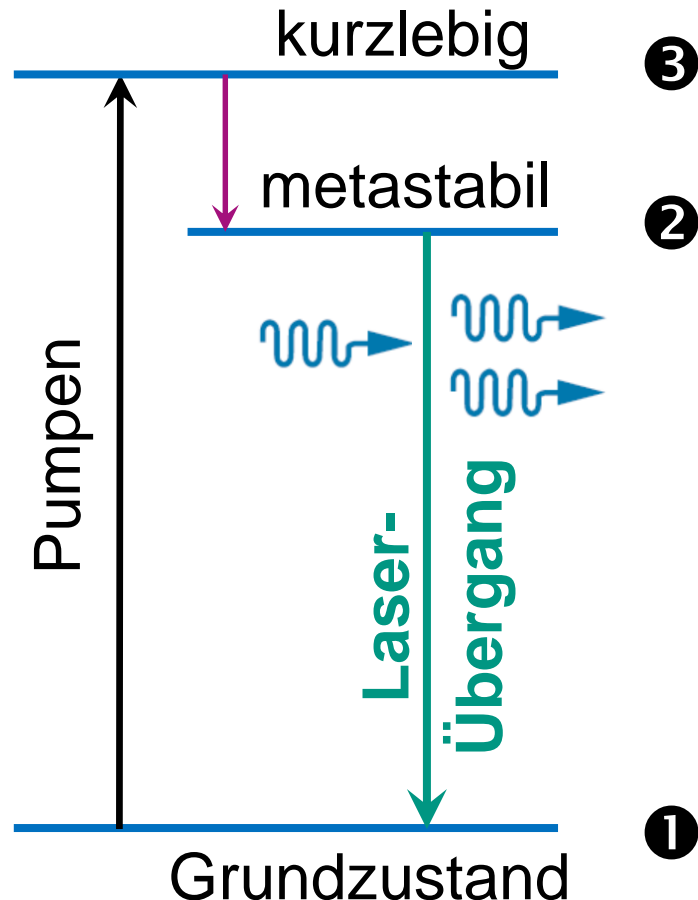
Moderne Experimentalphysik I – Atome und Kerne

Vorlesung 18 27.6.2024



RECAP: LASER

■ **LASER** = **L**ight **A**mplification by **S**timulated **E**mission of **R**adiation



- **Besetzungsinversion** der Laserniveaus!
- Einstein: **stimulierte Emission**
- Koeffizienten $B_{21} = B_{12}$

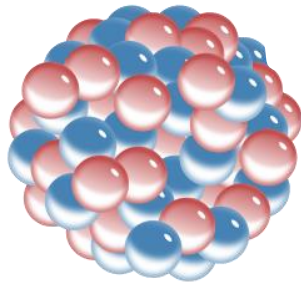
$$N(E_2 \rightarrow E_1) \sim B_{21} \cdot \underbrace{(N_2 - N_1)}$$

Besetzungsinversion!

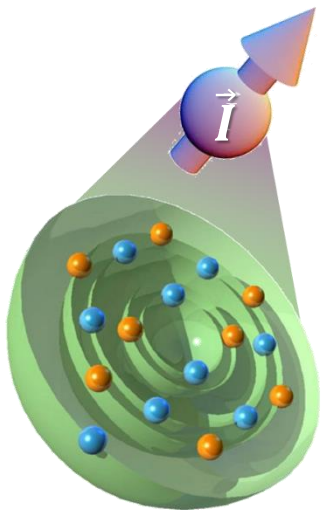
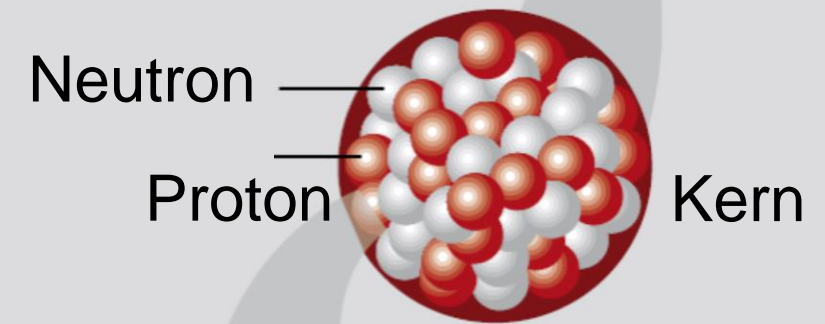
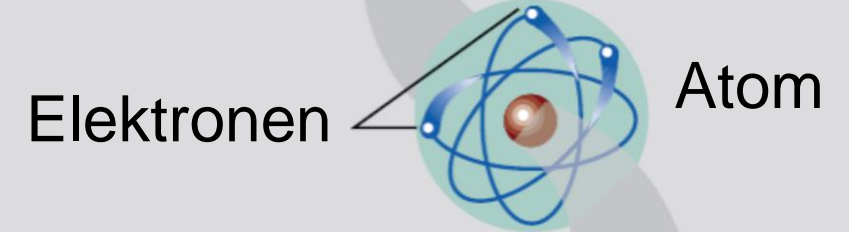
- **Pumpen** zum oberen Laserniveau!
 - optisch via Blitzlampe (Xenon)
 - Elektronenstoß (Gasentladung)

10. Eigenschaften stabiler Kerne

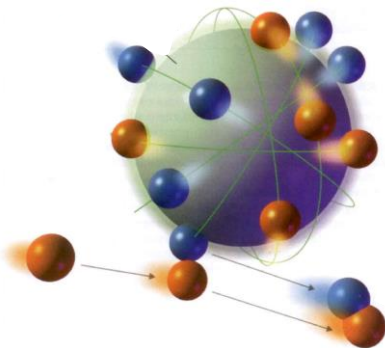
■ Unsere Themengebiete



Kernradien &
Formfaktoren:
Rutherford, Mott,
Hofstadter,...



Kernmodelle &
Kernkräfte



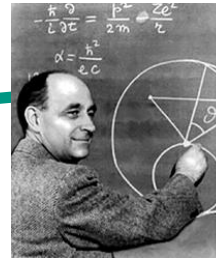
Kernreaktionen



Kernspaltung &
Kernfusion

Kernphysik: klassische Themengebiete

Fermi-
Theorie

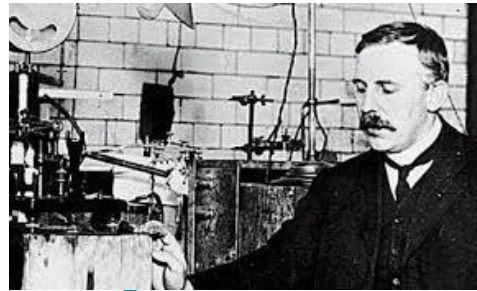
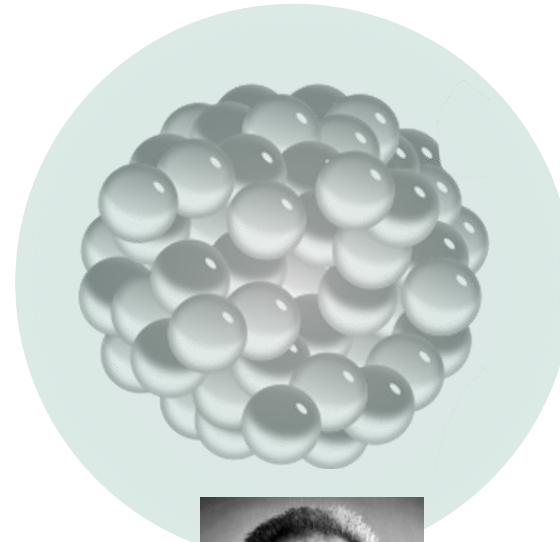


Wu
Experiment



Cockcroft–Walton
Generator

Hans
Bethe

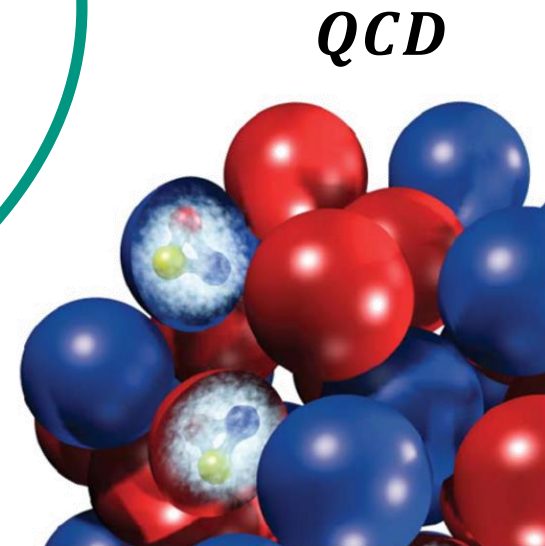
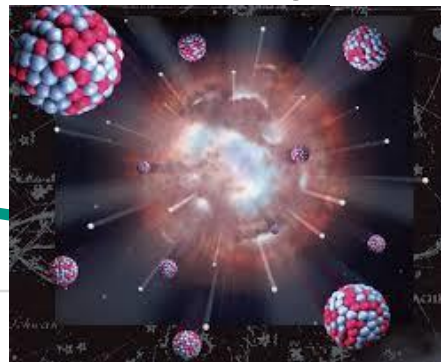
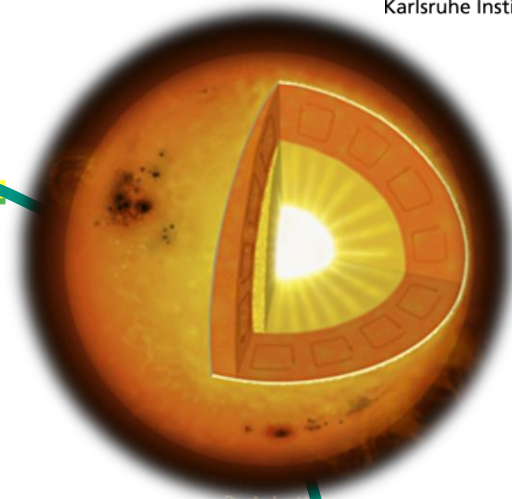
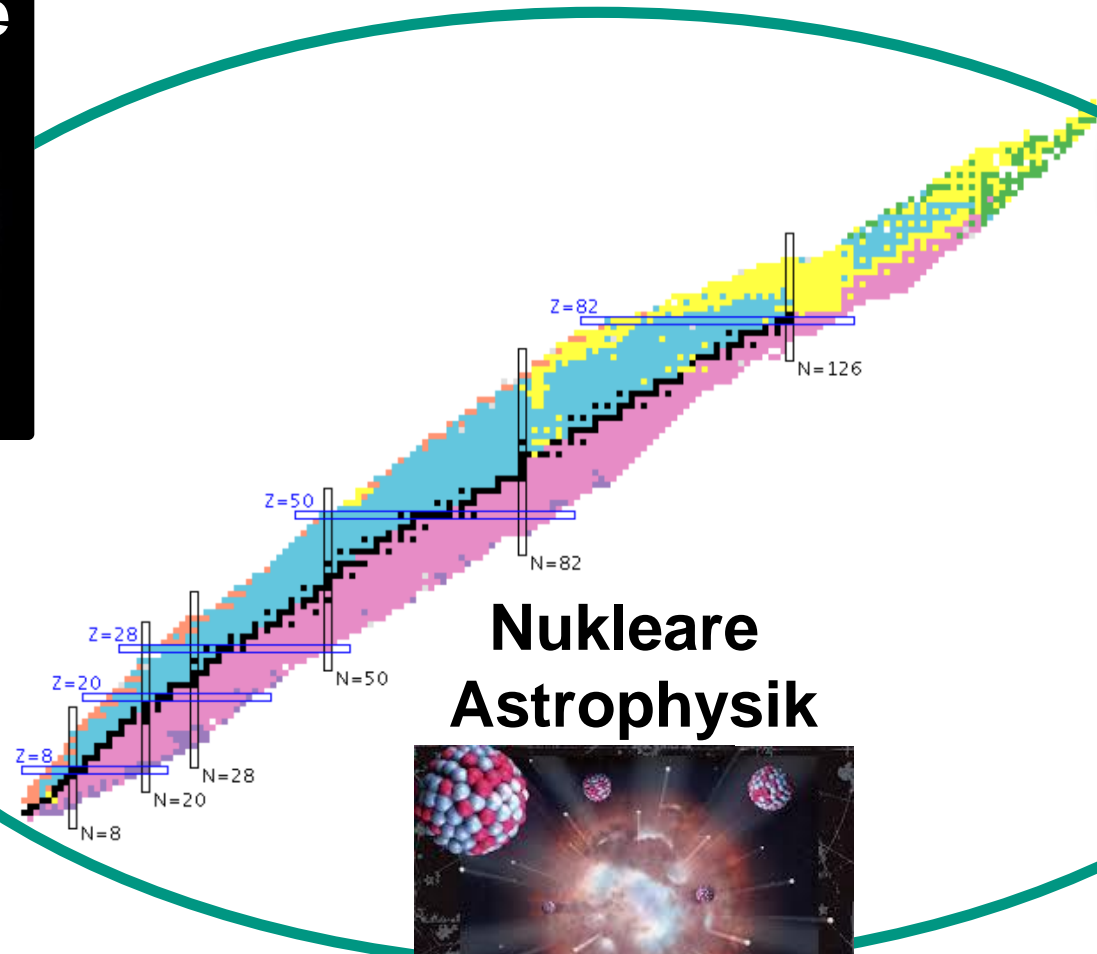
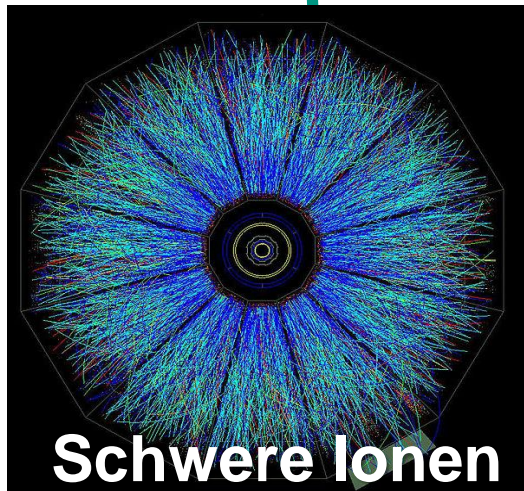
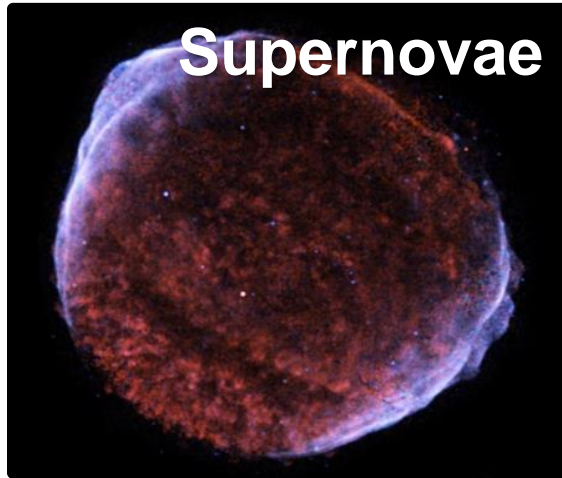


Rutherford
Experiment



Goldhaber
Experiment

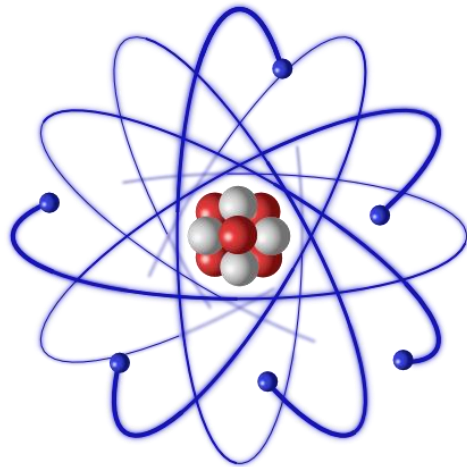
Kernphysik: moderne Themengebiete



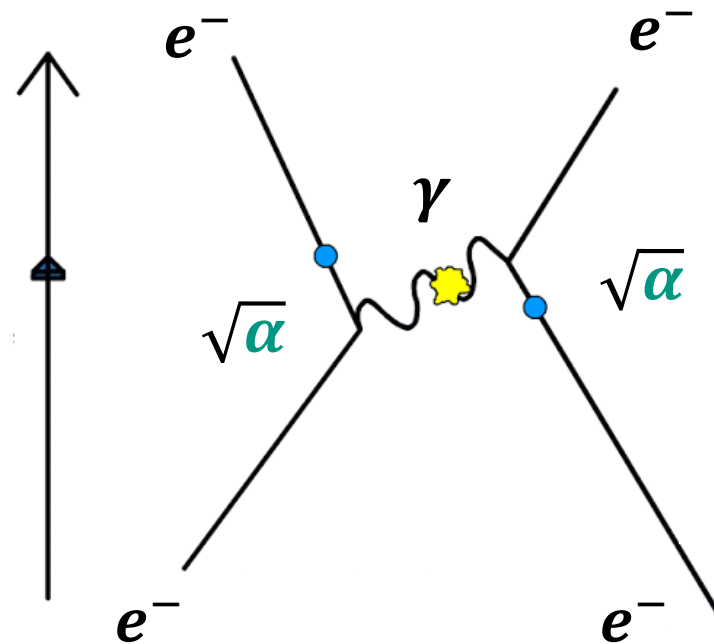
10.1 Einführung

■ Eigenschaften der kondensierten Materie

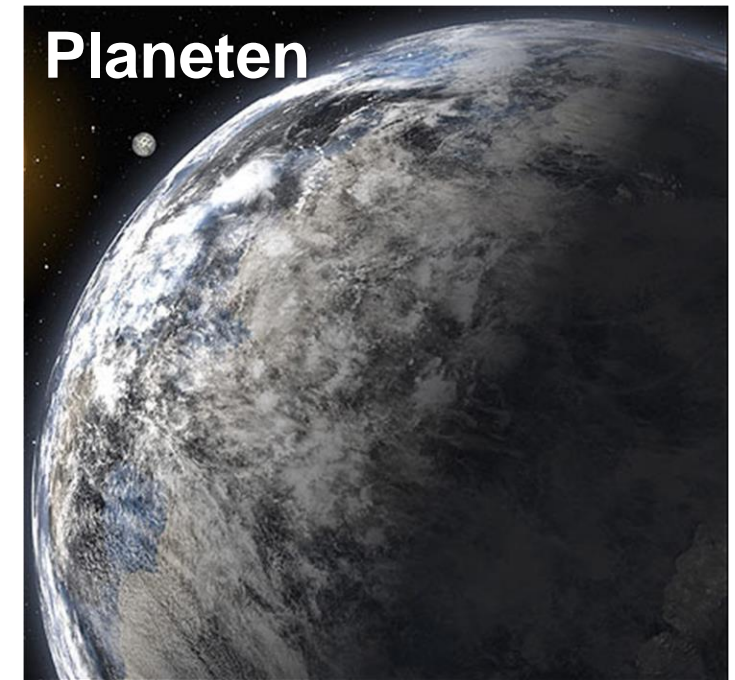
- **Atomphysik**: Prozesse der **elektromagnetischen Wechselwirkung**



Coulomb-
Wechselwirkung



$$\rho = 10^3 \text{ kg/m}^3$$



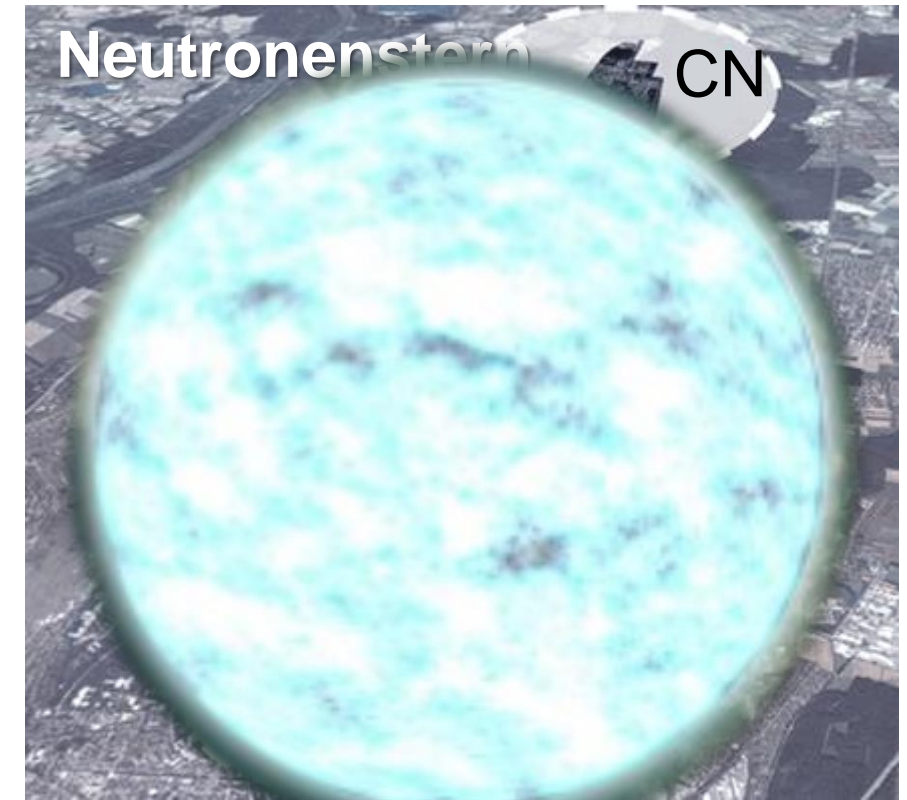
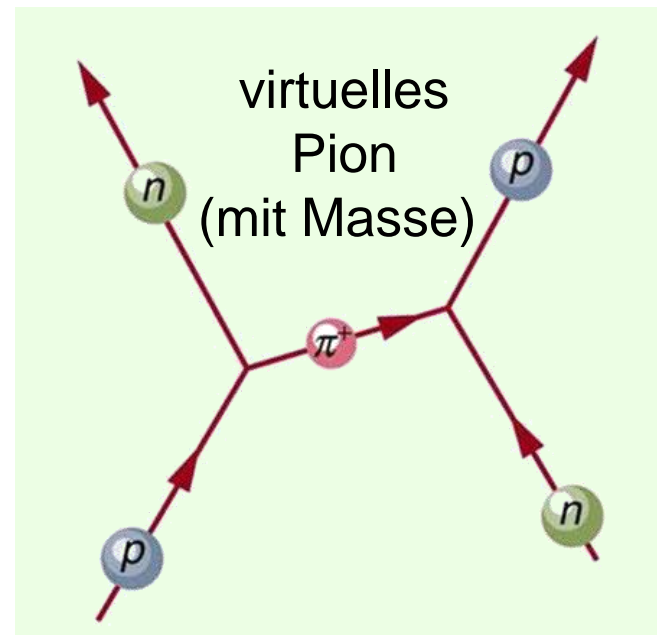
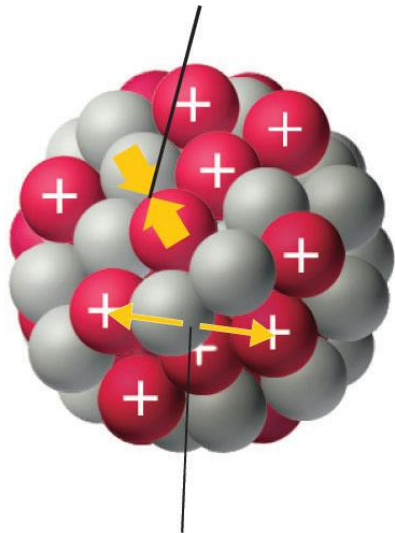
Kerne und Kernmaterie

■ Eigenschaften von Kernmaterie (Atomkerne, Neutronensterne,...)

- **Kernphysik**: Prozesse der **starken Wechselwirkung (QCD*)**

α_s : starke Kopplungskonstante = **0,2 ... 1**

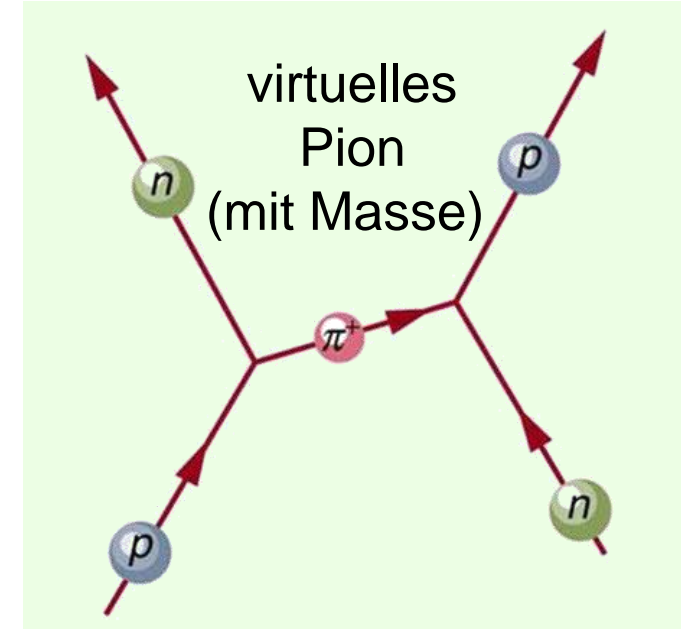
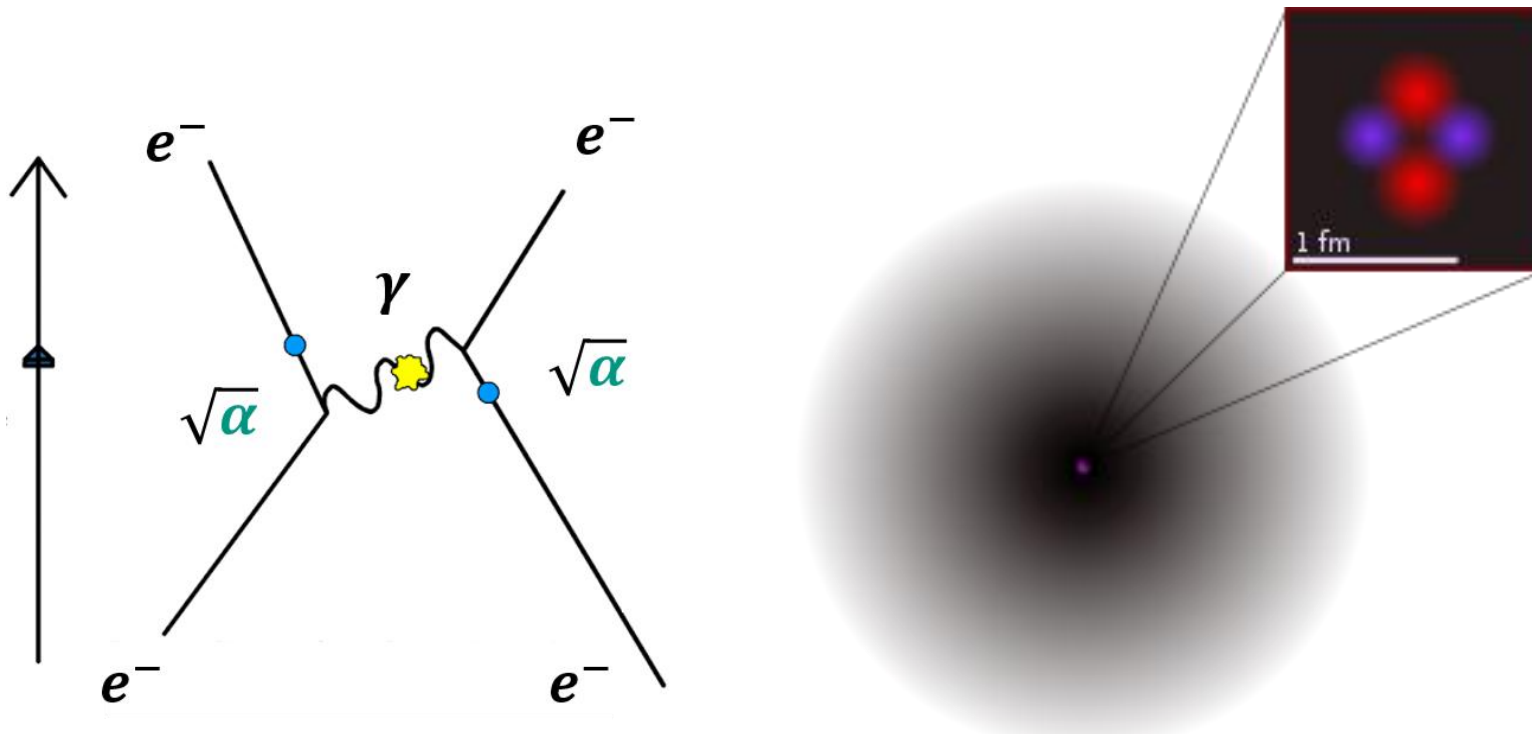
**anziehende Kernkraft
(kurzreichweitig)**



abstoßende Coulomb-Kraft (langreichweitig)

Atome und Kerne: Vergleich der Skalen

- Eigenschaften der Objekte werden festgelegt durch die Wechselwirkung (elektromagnetisch: α , **stark**: α_s) & Elementarteilchen (e^- , p/n)



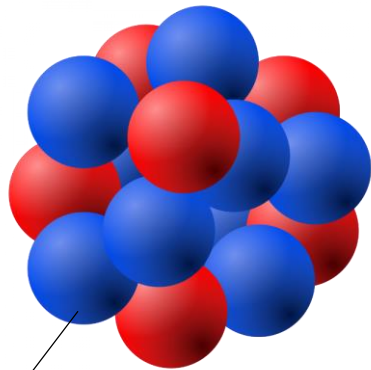
α : Feinstrukturkonstante = **1/137**

α_s : starke Kopplungskonstante = **0,2 ... 1**

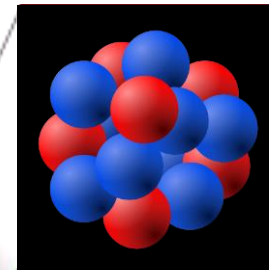
Atome und Kerne: Vergleich der Skalen

- Eigenschaften der Objekte werden festgelegt durch die Wechselwirkung (elektromagnetisch: α , **stark**: α_s) & Elementarteilchen (e^- , p/n)

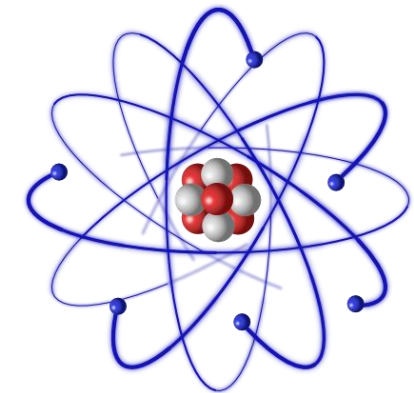
$$r_{\text{Kern}} = (2 \dots 8) \cdot 10^{-15} \text{ m}$$



Nukleonmasse: $m_N = 939 \text{ MeV}$



$$r_{\text{Atom}} = 10^{-10} \text{ m}$$

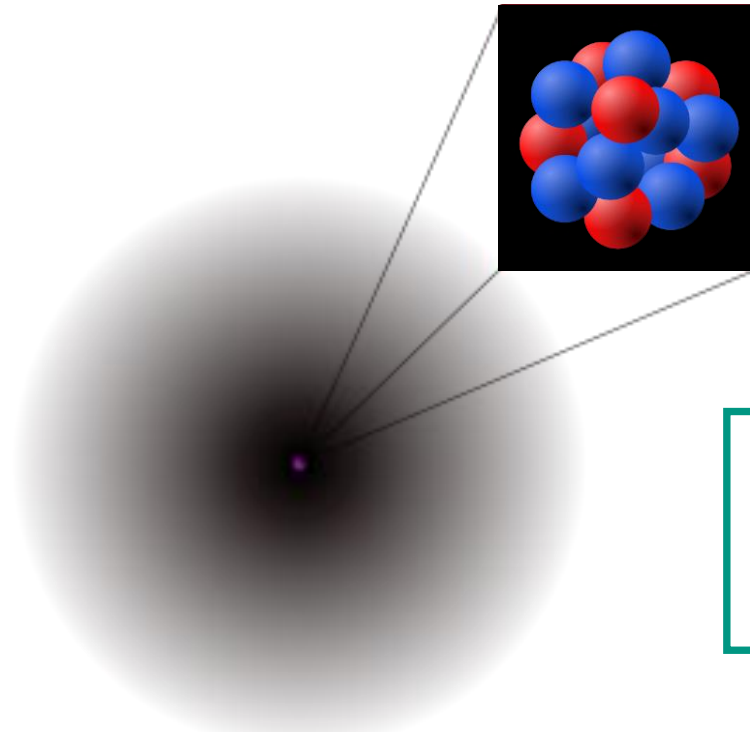


Elektronmasse: $m_e = 0,511 \text{ MeV}$

Atome und Kerne: Vergleich der Skalen

- Eigenschaften der Objekte werden festgelegt durch die Wechselwirkung (elektromagnetisch: α , **stark**: α_s) & Elementarteilchen (e^- , p/n)

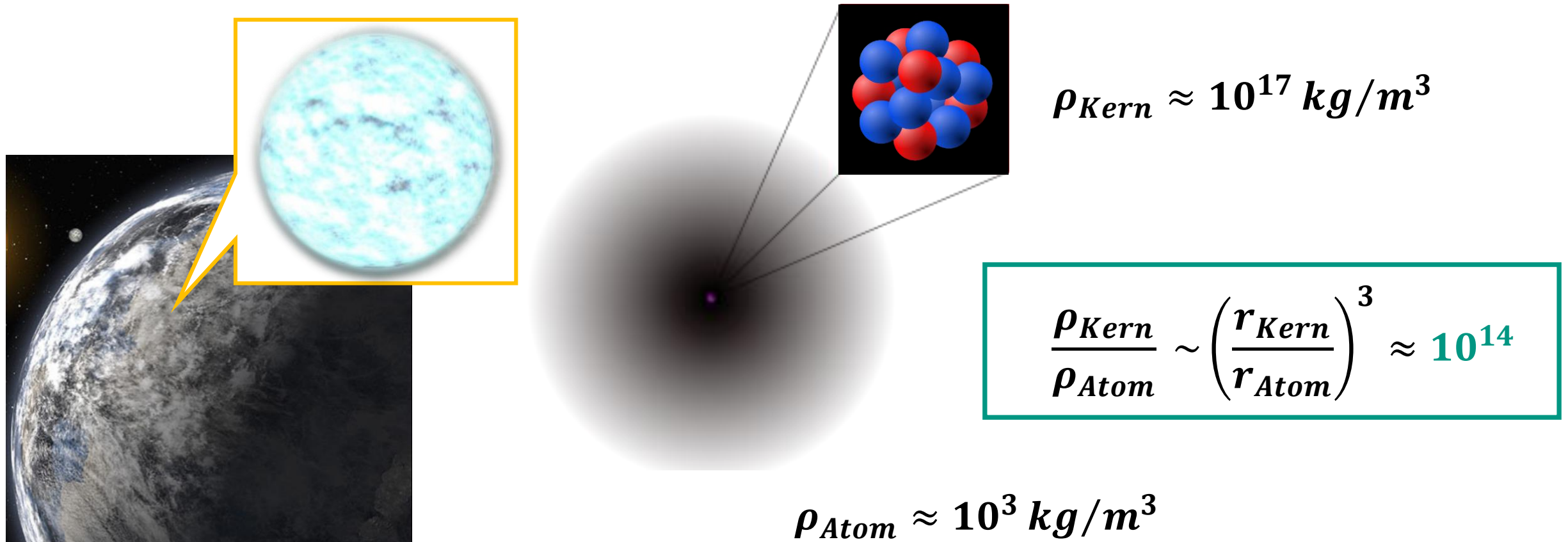
Verhältnis der Skalen
von Atomen & Kernen



$$\frac{r_{\text{Kern}}}{r_{\text{Atom}}} \sim \frac{\alpha}{\alpha_s} \cdot \frac{m_e}{m_N} \approx 3 \cdot 10^{-5}$$

Atome und Kerne: Vergleich der Dichten

- Dichten der Objekte werden festgelegt durch die Wechselwirkung (elektromagnetisch: α , **stark**: α_s) & Elementarteilchen (e^- , p/n)

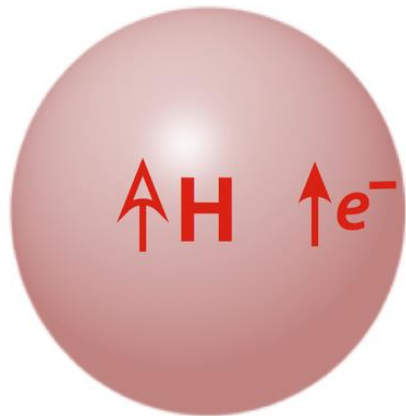


Rolle des Spins in der Atomphysik

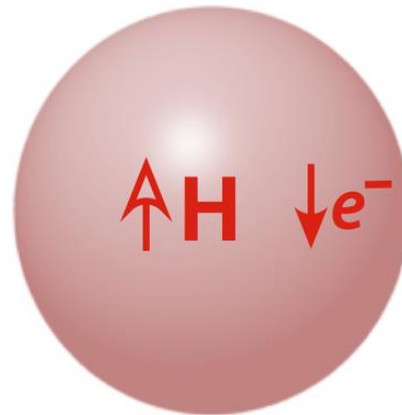
■ Interne Spineigenschaften: H – Atom (Atomphysik)

- Hyperfeinstruktur

$$F = 1$$



$$F = 0$$



Kopplung von J der Hülle und Kern-Spin I zu F

$$\Delta E = 5,9 \cdot 10^{-6} \text{ eV}$$

relativ zur Masse des H – Atoms

$$M_H \approx 10^9 \text{ eV}$$

$$\text{Effekt} \sim 10^{-14}$$

Rolle des Spins in der Kernphysik

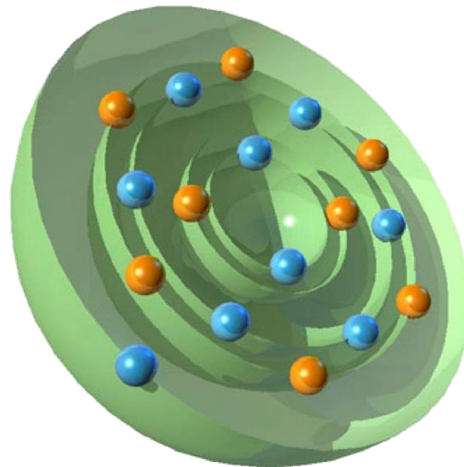
■ Interne Spineigenschaften

Spin spielt in der starken Wechselwirkung eine wesentlich größere Rolle als bei elektrodynamischen Prozessen

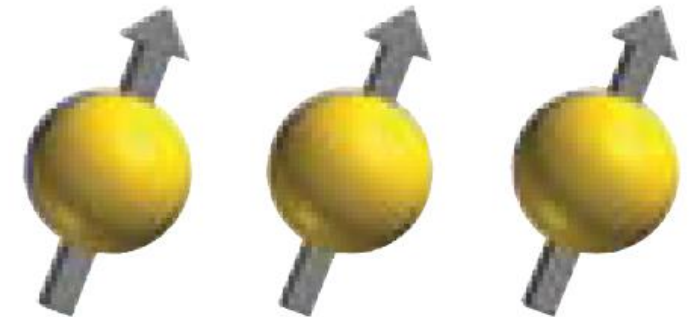
Beispiel:

- **wesentliche Rolle bei:**

⇒ **Schalenstruktur der Kerne*** (*uu*, *gg*)



**u*ngerade-*u*ngerade
*g*erade-*g*erade

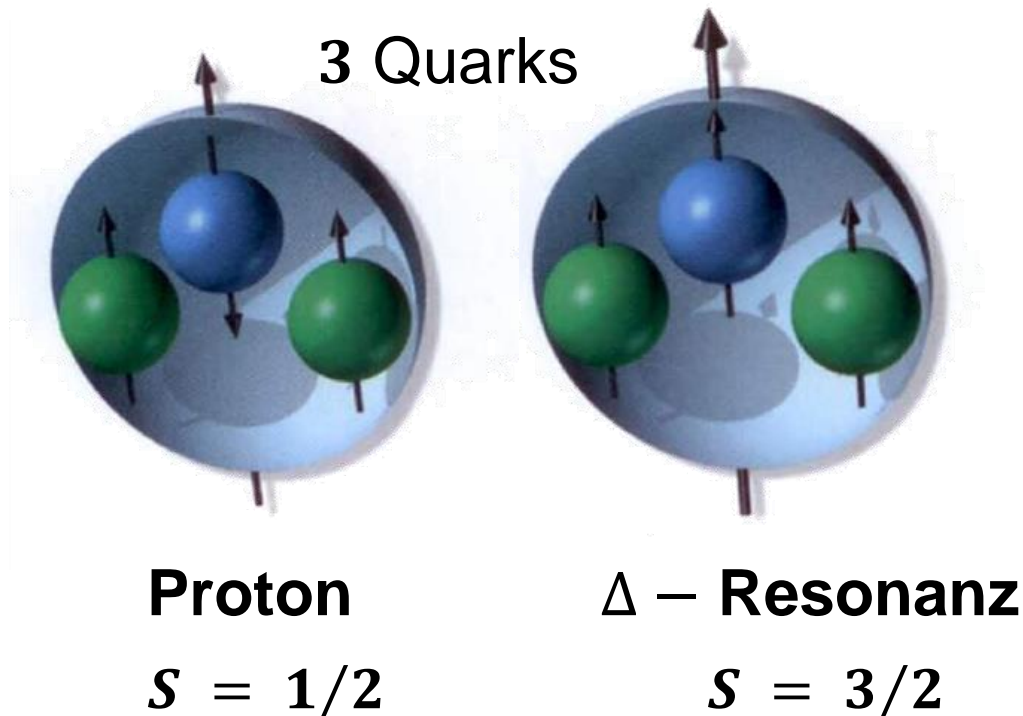


Rolle des Spins in der Kern- & Teilchenphysik

■ Interne Spineigenschaften: Proton und angeregtes Baryon (Δ – Resonanz)

- Masse und Lebensdauer

von stark wechselwirkenden Teilchen (p, n, Δ^+) sind stark unterschiedlich



Masse

$$\Delta M \approx 25\% \quad (M_p = 938,27 \text{ MeV})$$
$$M_\Delta = 1232 \text{ MeV}$$

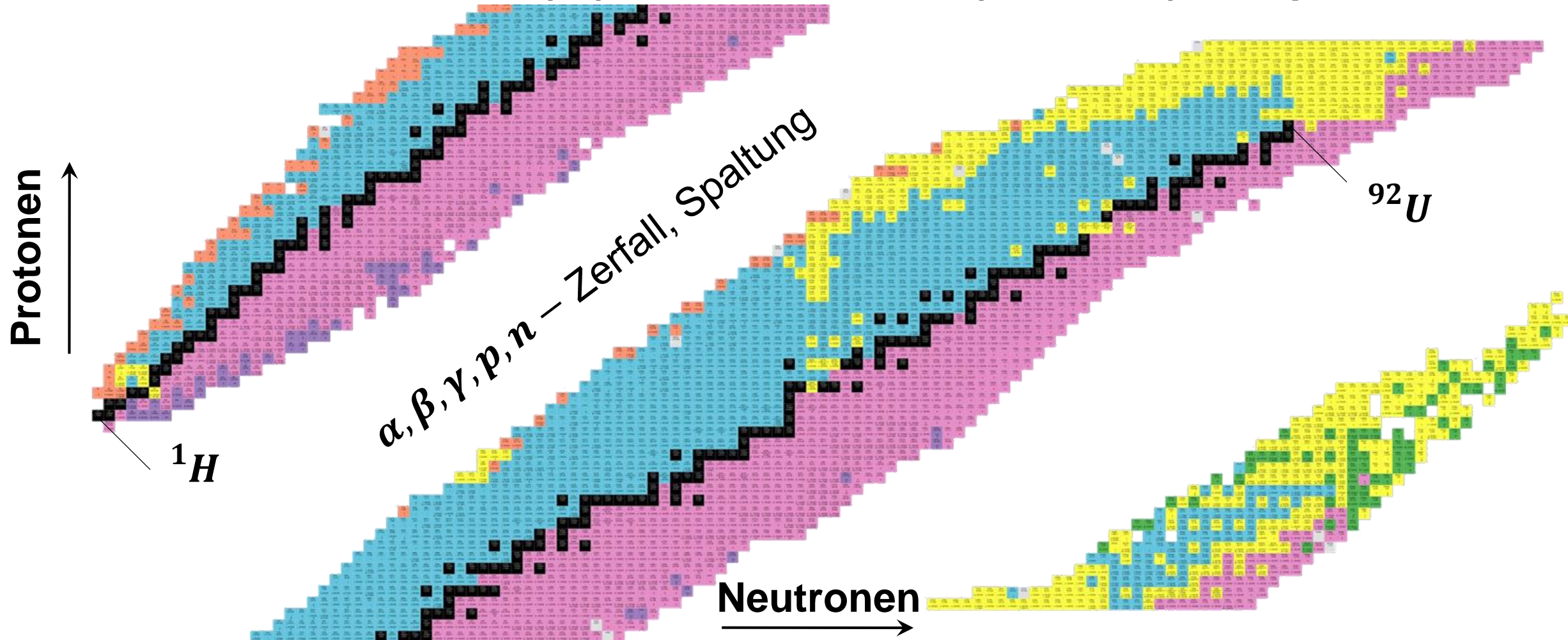
Lebensdauer

$$\Delta\tau > 10^{65} \quad (\tau_p > 10^{41} \text{ s}, \text{ d. h. stabil})$$
$$\tau_\Delta = (5,58 \pm 0,09) \cdot 10^{-24} \text{ s}$$

d. h. *extrem kurzlebig*

Kerne: ein allererster Überblick

■ Nuklidkarte: 250 stabile (■) & ~3700 instabile (■ ■ ■ ■ ■ ■) Isotope

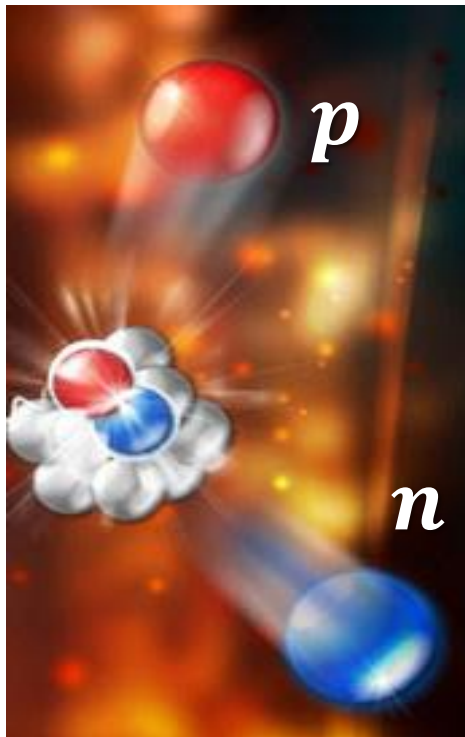


QUIZ: weshalb gibt es so viele *instabile* Isotope?

■ Frage: ein Kern **zerfällt**....

A) ...nach einer **inneren Kollision** von Nukleonen!

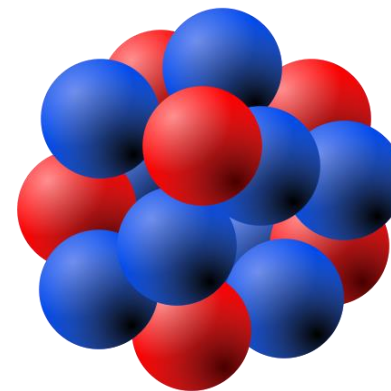
A



B) ... durch **virtuelle Teilchen** des Vakuums!

C) ... wenn er dadurch **Energie** gewinnt !

C



energy
gain

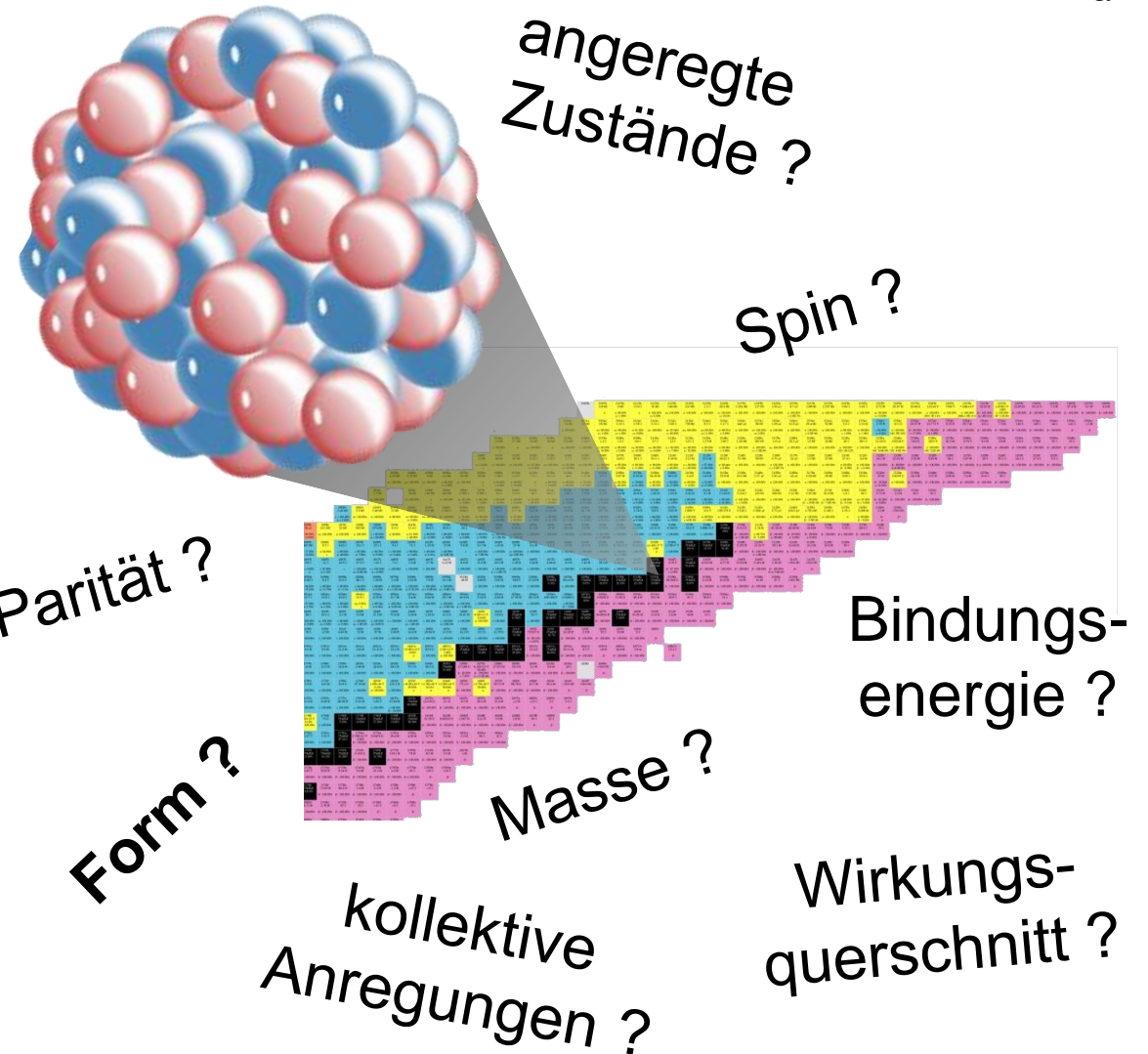
Die Erforschung der stabilen Kerne

■ Experimente mit Kernen!

Wie können wir die Größe und die Eigenschaften von Kernen bestimmen?



Rutherford fragen!



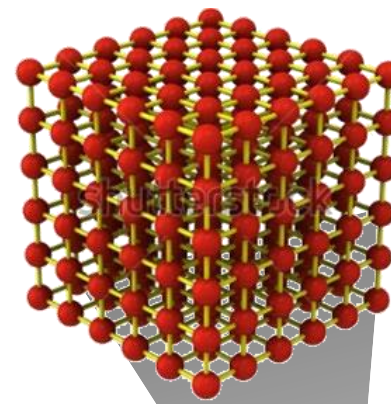
10.2 Rutherford–Streuung

■ Grundlagen von Streuexperimenten

$d\sigma/d\Omega$ gibt Aufschluss
über Größe der Kerne

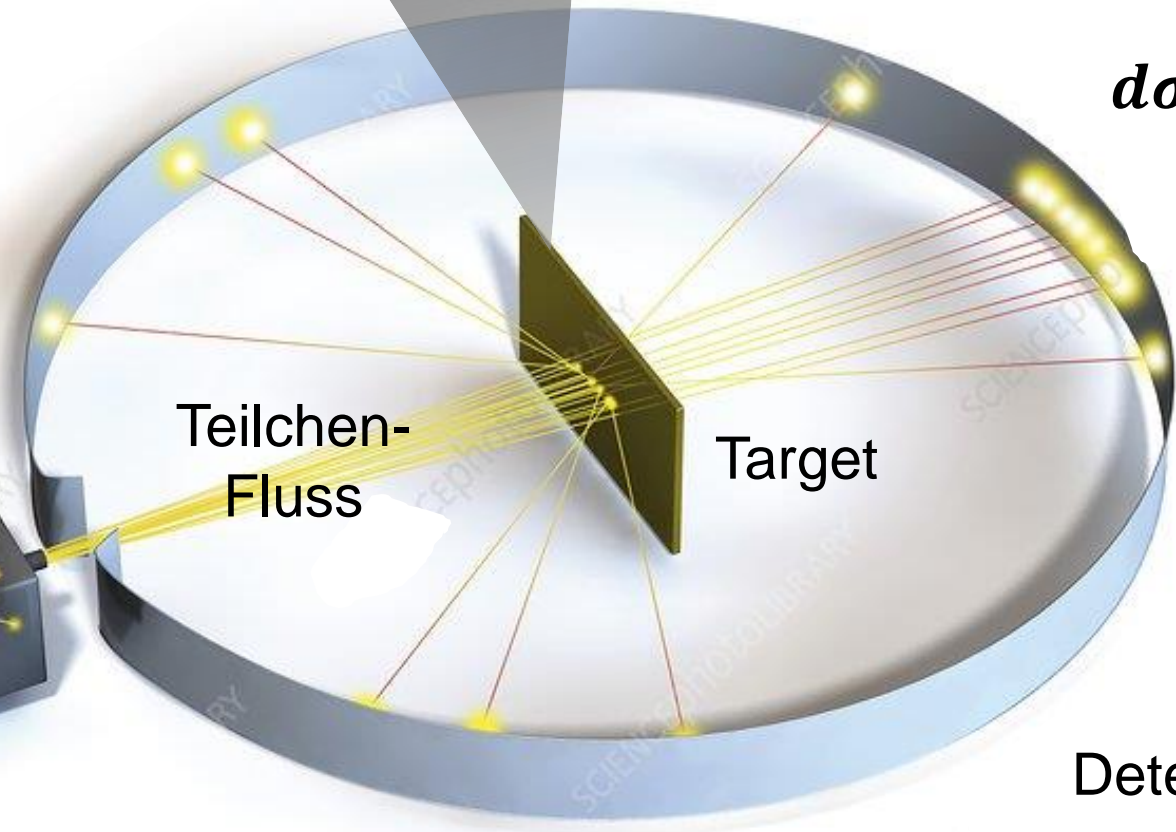
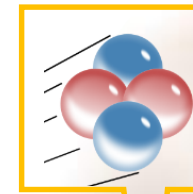
Projektil:
 α – Kerne

Ra – Quelle mit
 $E_{kin}(\alpha) = 4,78 \text{ MeV}$



differentieller
Wirkungsquerschnitt

$d\sigma/d\Omega$



Detektoren

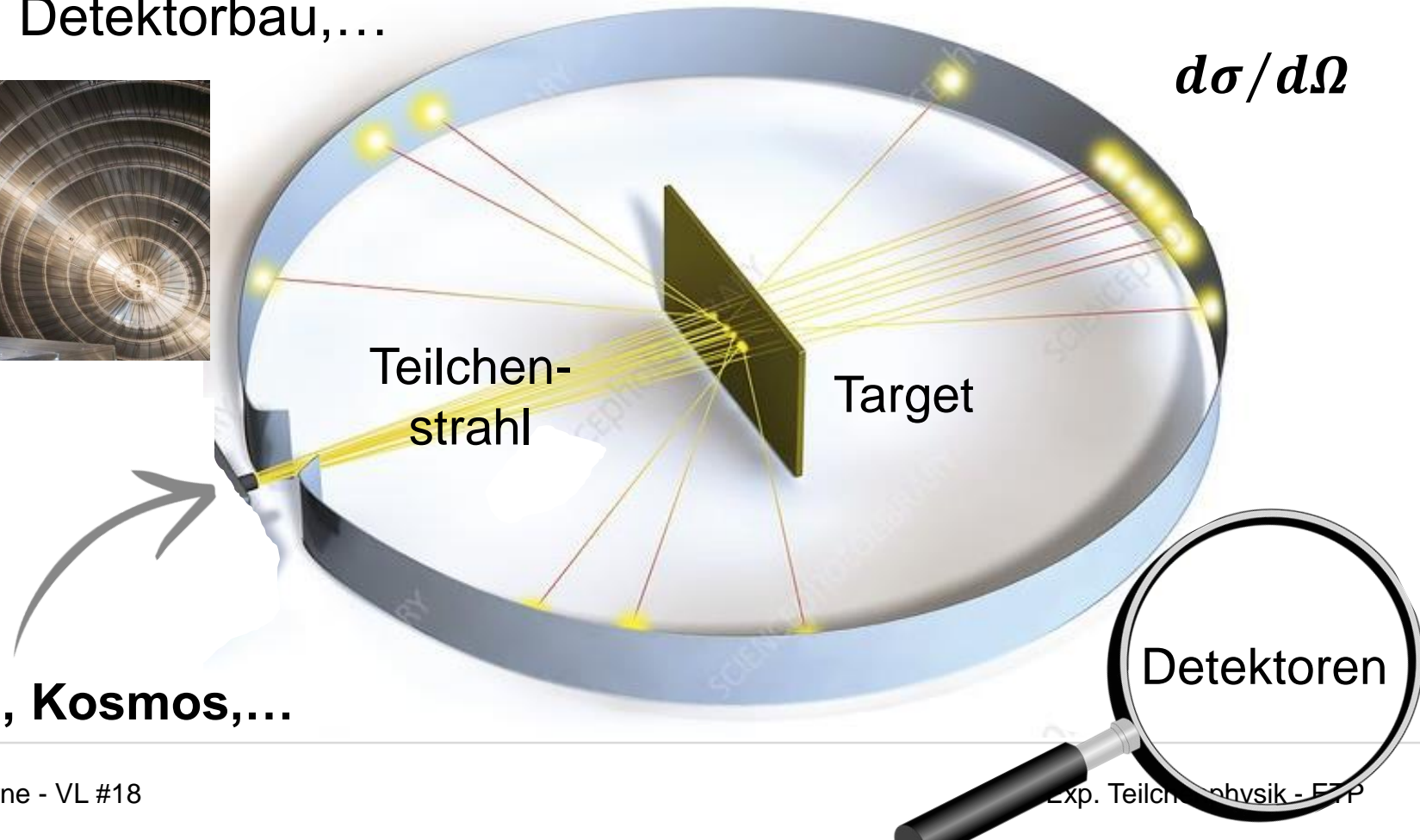
Streuung von Teilchen: grundlegend wichtig

■ Streuexperimente & meine weitere Spezialisierung

ideales Umfeld für Bachelor-, Master- und Doktorarbeiten: Analyse, Detektorbau,...

differentieller
Wirkungsquerschnitt

$$d\sigma/d\Omega$$



Beschleuniger: **CERN, KATRIN, Kosmos,...**

Einschub: Wirkungsquerschnitte

■ Wichtige experimentelle Größen: der **einfallende Teilchenstrahl**

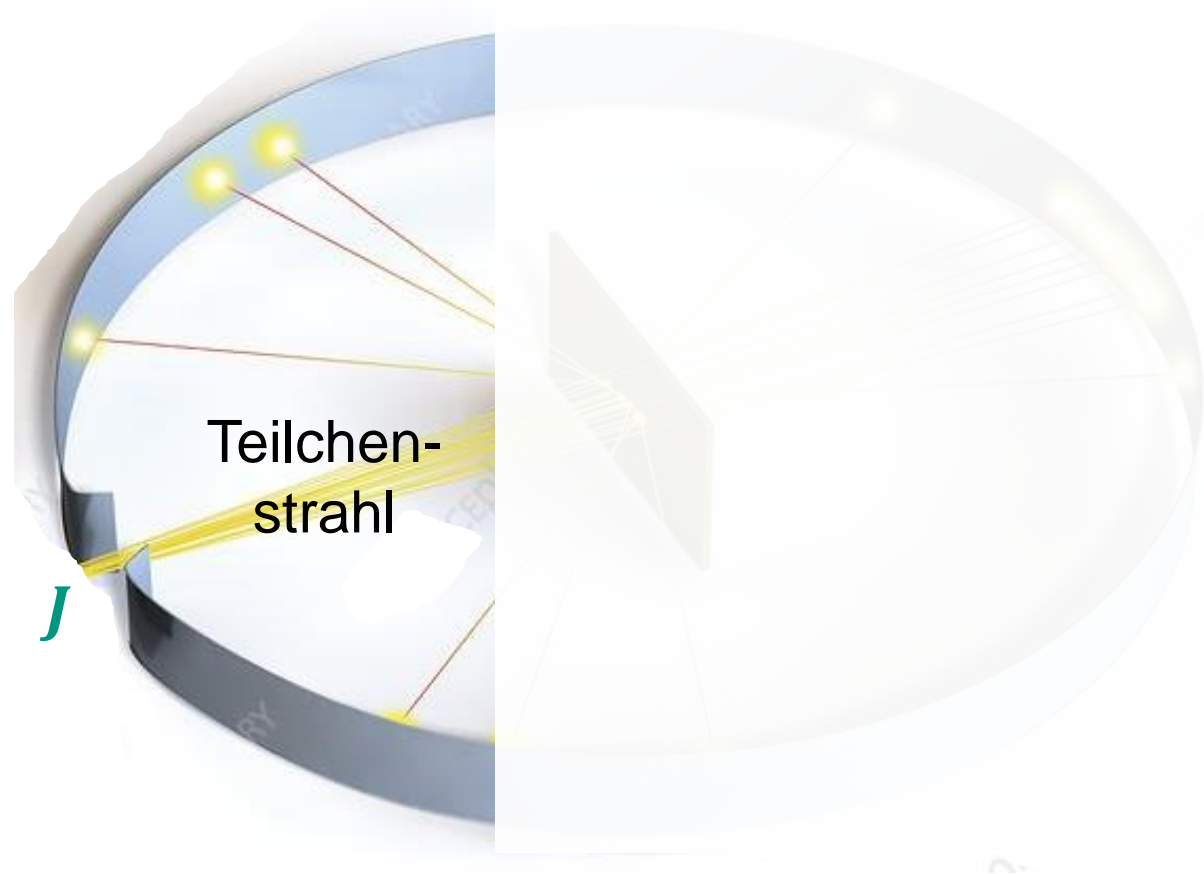
charakterisiert durch:

- Geschwindigkeit v_i [cm/s]
- Anzahldichte n_{Strahl} [cm^{-3}]



- **Flussdichte J** [$cm^{-2}s^{-1}$]

$$J = n_{Strahl} \cdot v_i$$



Einschub: Wirkungsquerschnitte

■ Wichtige experimentelle Größen: der **einfallende Teilchenstrahl**

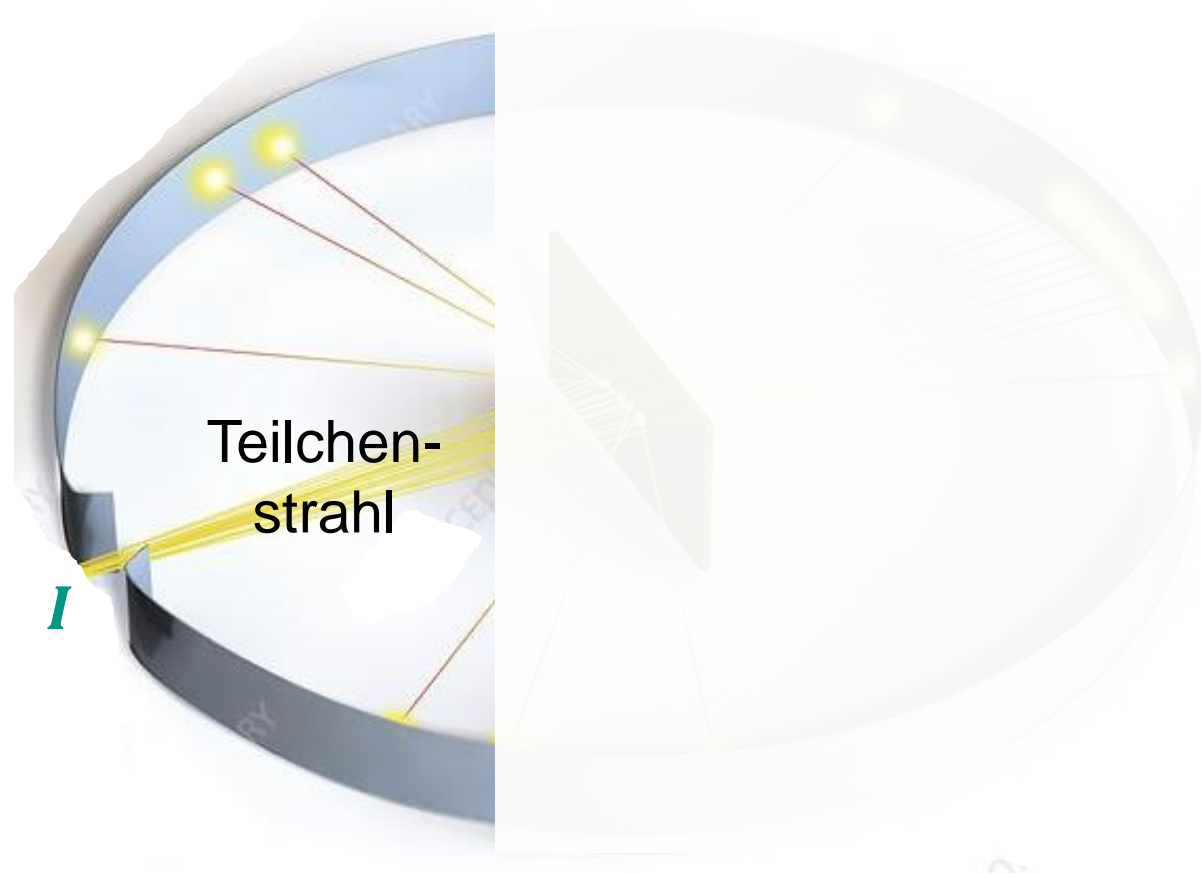
charakterisiert durch:

- Geschwindigkeit v_i [cm/s]
- Anzahldichte n_{Strahl} [cm^{-3}]
- Querschnitt F [cm^2]



- **Fluss / Intensität I** [s^{-1}]

$$I = n_{Strahl} \cdot v_i \cdot F$$



Einschub: Wirkungsquerschnitte

■ Wichtige experimentelle Größen: das Target

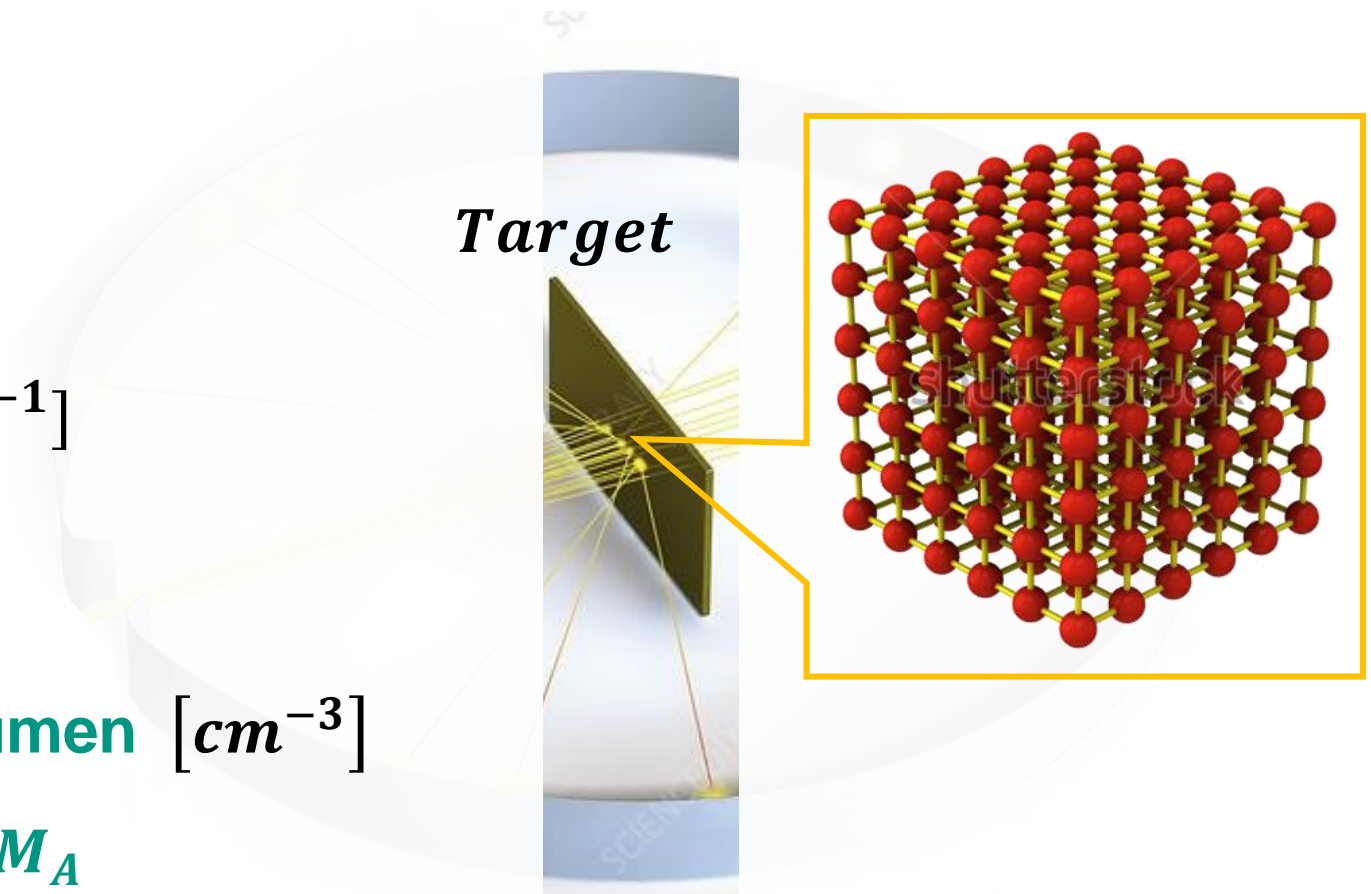
charakterisiert durch:

- Dichte ρ [g/cm^3]
- Atommasse* M_A [u]
- Avogadro-Konstante N_A [mol^{-1}]



- **Targetkerne pro Einheitsvolumen** [cm^{-3}]

$$n_{target} = \rho \cdot N_A / M_A$$



Einschub: Wirkungsquerschnitte

■ Wichtige experimentelle Größen: das **Target**

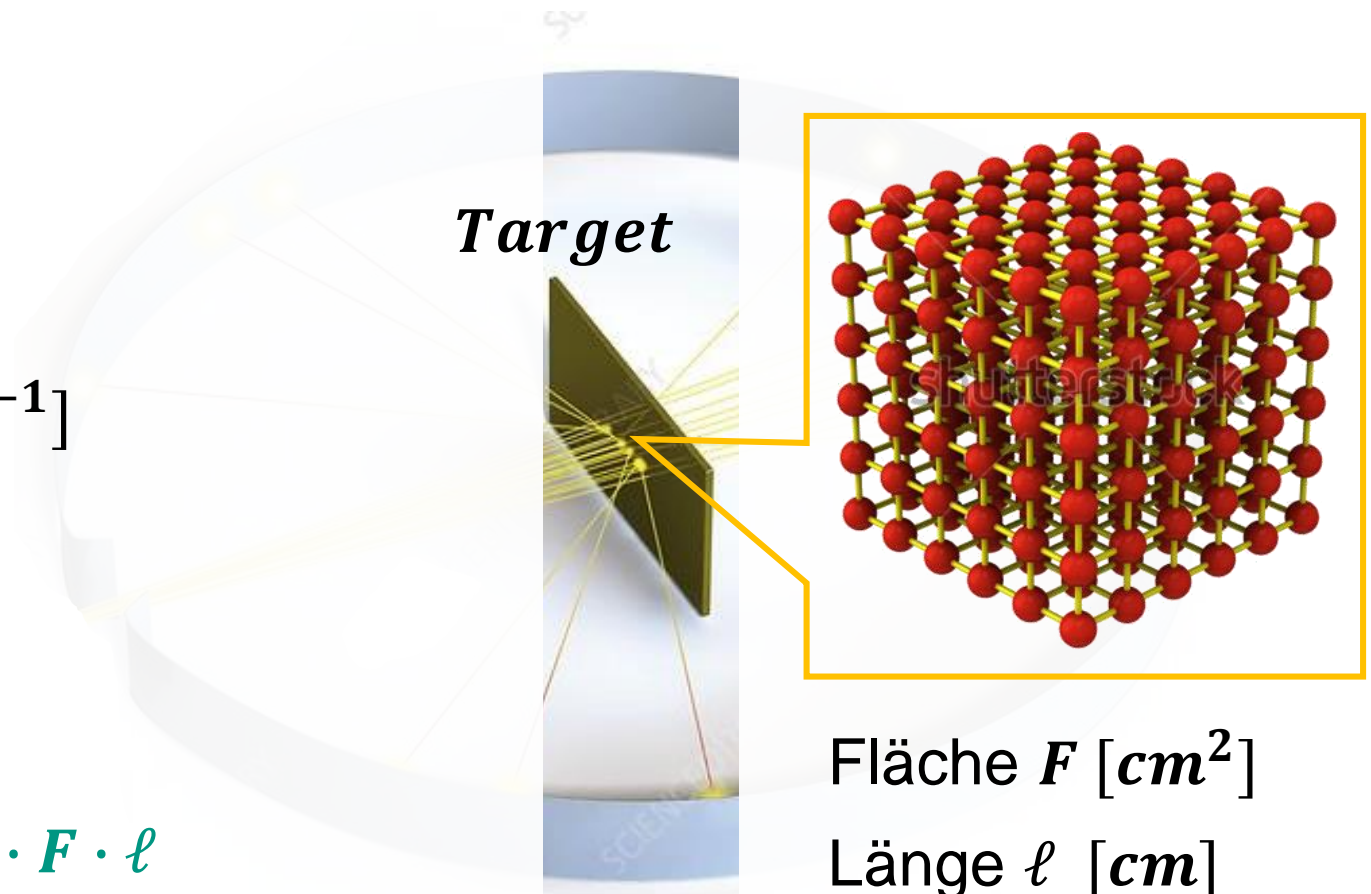
charakterisiert durch:

- Dichte ρ [g/cm^3]
- Atommasse M_A [u]
- Avogadro-Konstante N_A [mol^{-1}]



- **Targetkerne im Strahl** [#]

$$N_{target} = n_{target} \cdot F \cdot \ell$$



Einschub: Wirkungsquerschnitte

■ Wichtige experimentelle Größen: die **Streurate W_R**

charakterisiert durch:

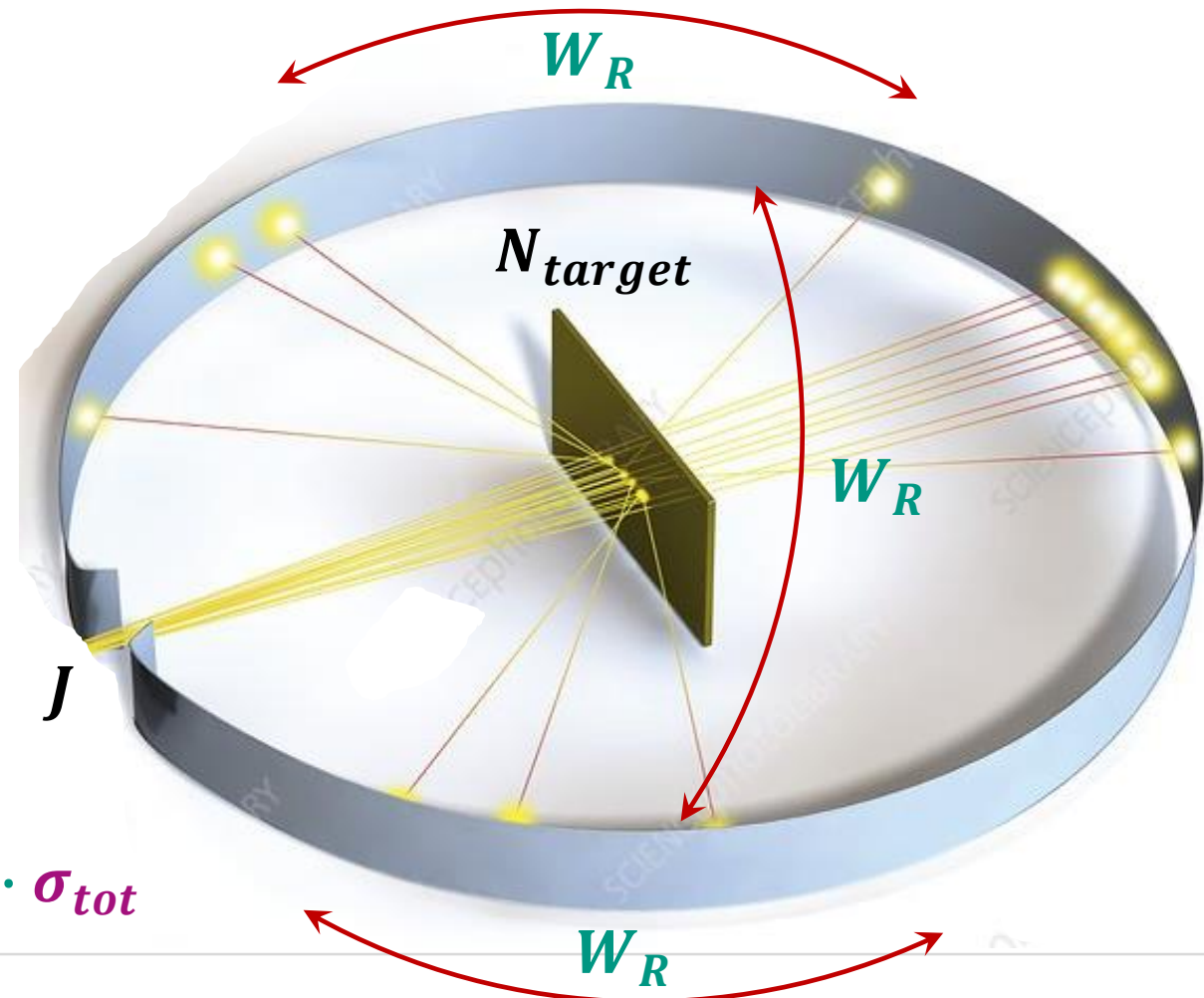
- Flussdichte J [$\text{cm}^{-2} \text{s}^{-1}$]
- Kerne im Strahl N_{target} [#]
- **totaler Wirkungsquerschnitt**

$$\sigma_{tot} [\text{cm}^2]$$



- **Steurate W_R** [s^{-1}]

$$W_R = J \cdot N_{target} \cdot \sigma_{tot}$$



Einschub: Wirkungsquerschnitte

■ Wichtige experimentelle Größen: die **Streurate W_R**

charakterisiert durch:

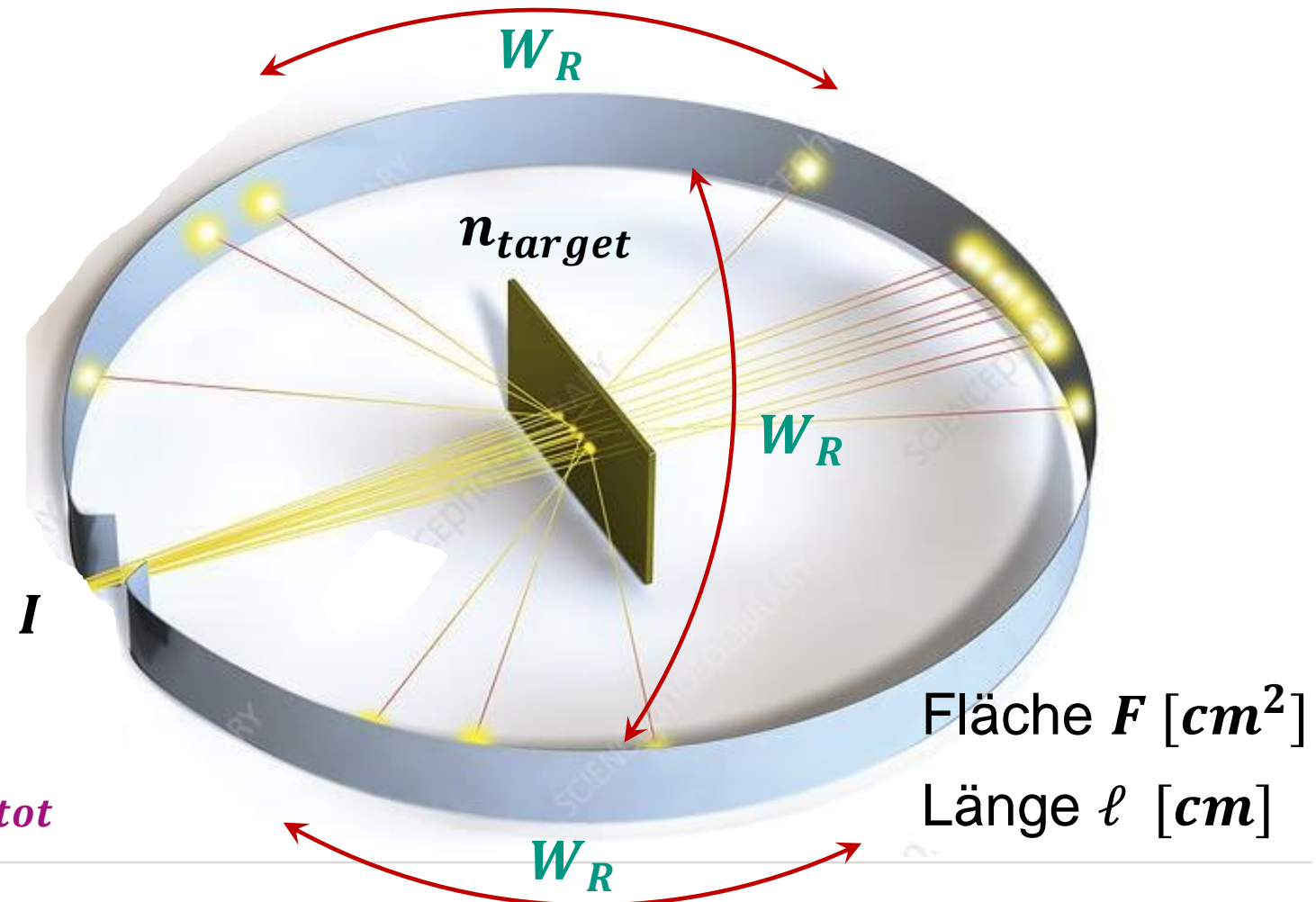
- Intensität I [s^{-1}]
- Kerne pro Vol. n_{target} [cm^{-3}]
- **totaler Wirkungsquerschnitt**

$$\sigma_{tot} [cm^2]$$



- **Steurate W_R** [s^{-1}]

$$W_R = I \cdot n_{target} \cdot F \cdot \ell \cdot \sigma_{tot}$$

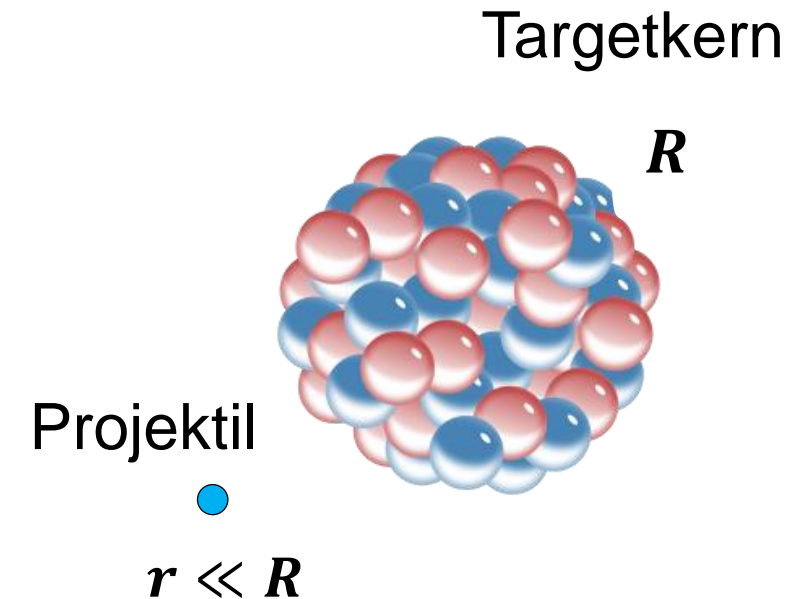


Einschub: Wirkungsquerschnitte

■ Der totale Wirkungsquerschnitt σ_{tot}

$$W_R = J \cdot N_{target} \cdot \sigma_{tot}$$

- ist proportional zur **Wahrscheinlichkeit** eines Streuprozesses
- ist das zentrale **Resultat** eines Streuexperimentes
- hat die Dimension einer **Fläche** [cm^2]
- stellt eine **'effektive' Fläche** dar für Streuprozesse, kann verglichen werden mit dem **geometrischen Streuquerschnitt** $\sigma_{geom} = \pi \cdot (R^2 + r^2)$



Einschub: Wirkungsquerschnitte

■ Der totale Wirkungsquerschnitt σ_{tot}

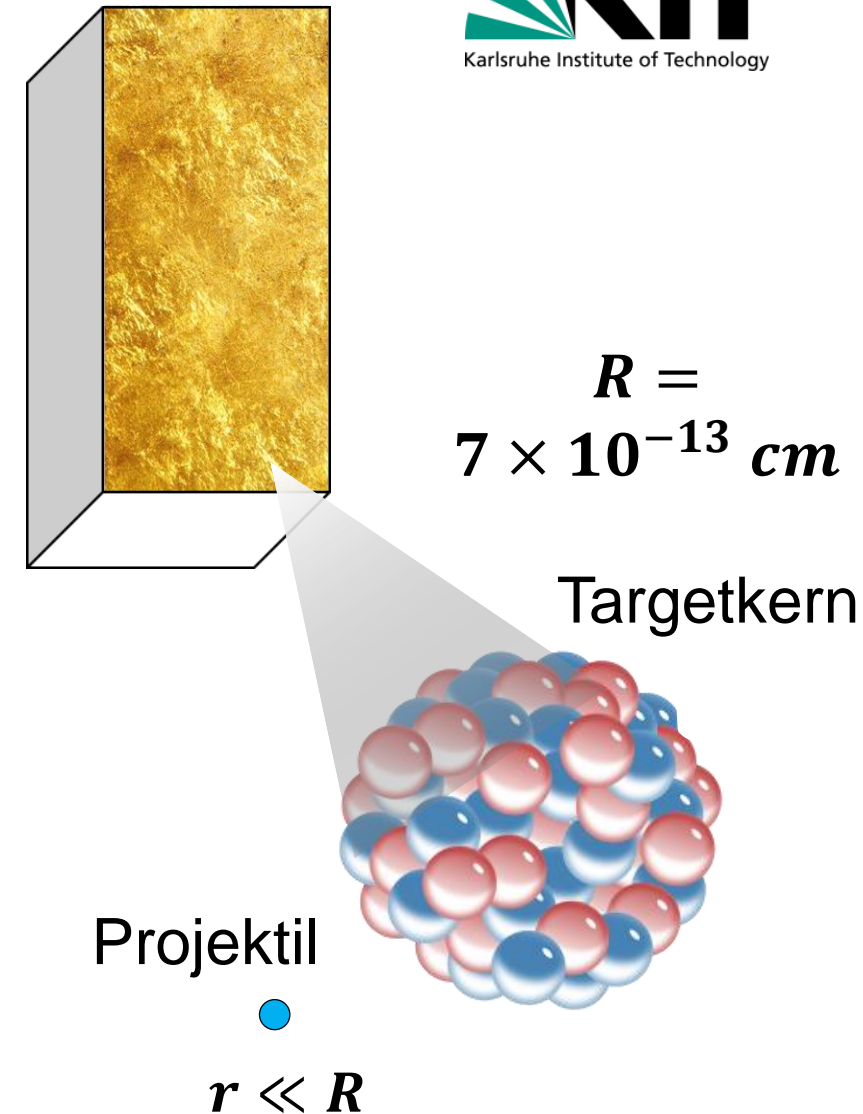
$$W_R = J \cdot N_{target} \cdot \sigma_{tot}$$

- Kernphysik-Beispiel: Streuung von Teilchen an einer **Goldfolie (Au)**

- daraus ergibt sich ein **geometrischer Streuquerschnitt**

$$\sigma_{geom} = \pi \cdot (R^2 + r^2)$$

$$\sigma_{geom} = 1,54 \cdot 10^{-24} \text{ cm}^2$$



Einschub: Wirkungsquerschnitte

■ Der totale Wirkungsquerschnitt σ_{tot}

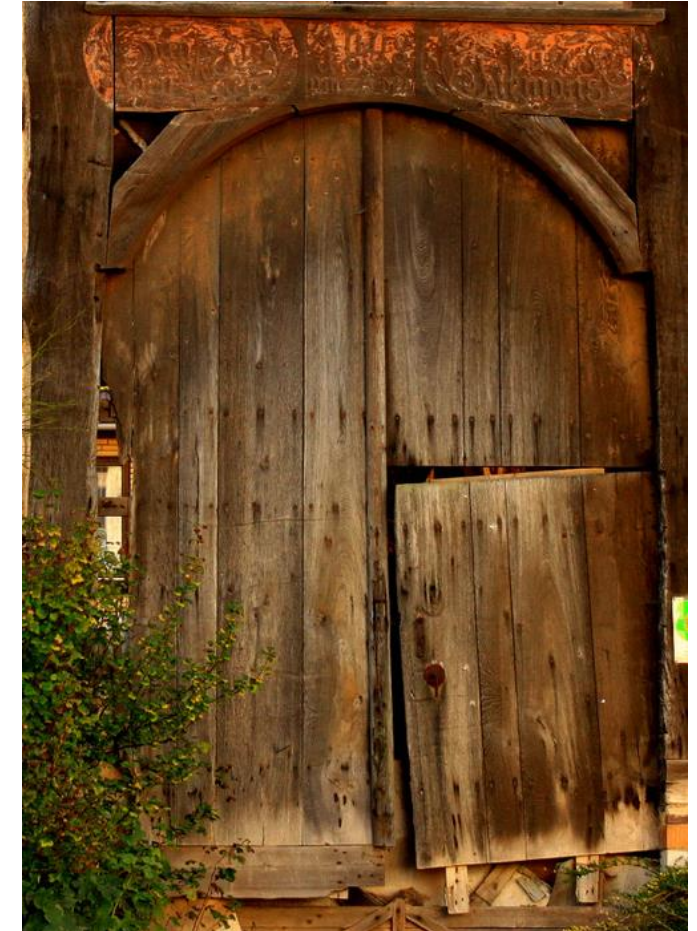
$$W_R = J \cdot N_{target} \cdot \sigma_{tot}$$

- experimentelle Wirkungsquerschnitte σ_{tot} zeigen oft starke Diskrepanzen zu σ_{geom}
(oft: $\sigma_{tot} \ll \sigma_{geom}$, seltener: $\sigma_{tot} > \sigma_{geom}$)
- neue ('quasi-SI')-Einheit:

$$1 \text{ barn} = 1 \text{ b} = 10^{-24} \text{ cm}^2$$

$$1 \text{ mb} = 10^{-27} \text{ cm}^2$$

$$1 \text{ fb} = 10^{-39} \text{ cm}^2$$



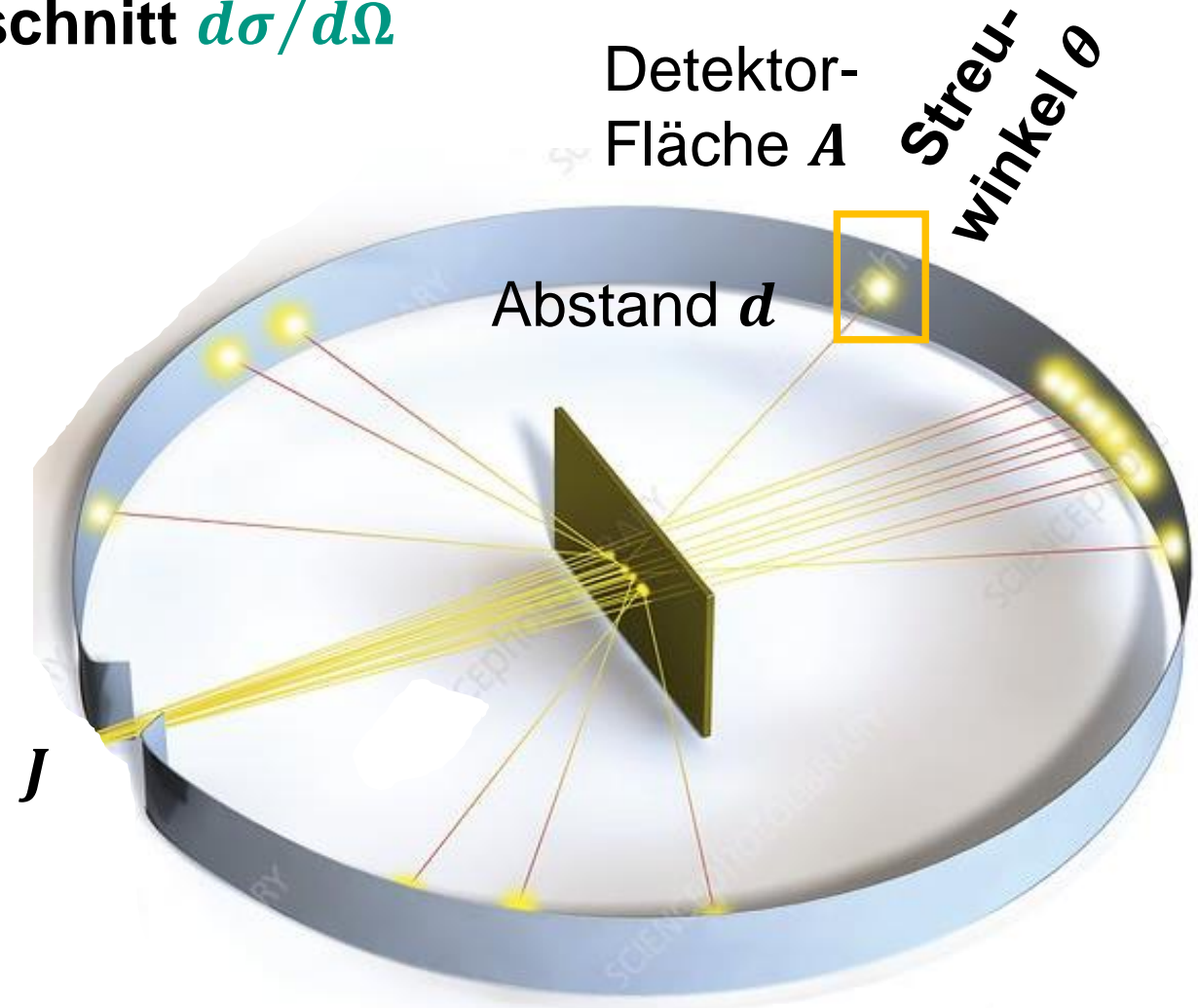
barn = Scheunentor

Einschub: Wirkungsquerschnitte

■ Der differentielle Wirkungsquerschnitt $d\sigma/d\Omega$

$$\frac{dW_R}{d\Omega} = J \cdot N_{target} \cdot \frac{d\sigma}{d\Omega}$$

- Teilchen wechselwirkt im Target
⇒ läuft aus unter **Streuwinkel θ**
- Detektor mit Fläche A im Abstand d
überdeckt **Raumwinkel-Element**
 $d\Omega = A/d^2$
- Einheit von $d\sigma/d\Omega$
ist $[cm^2/sr]$ bzw. $[b/sr]$



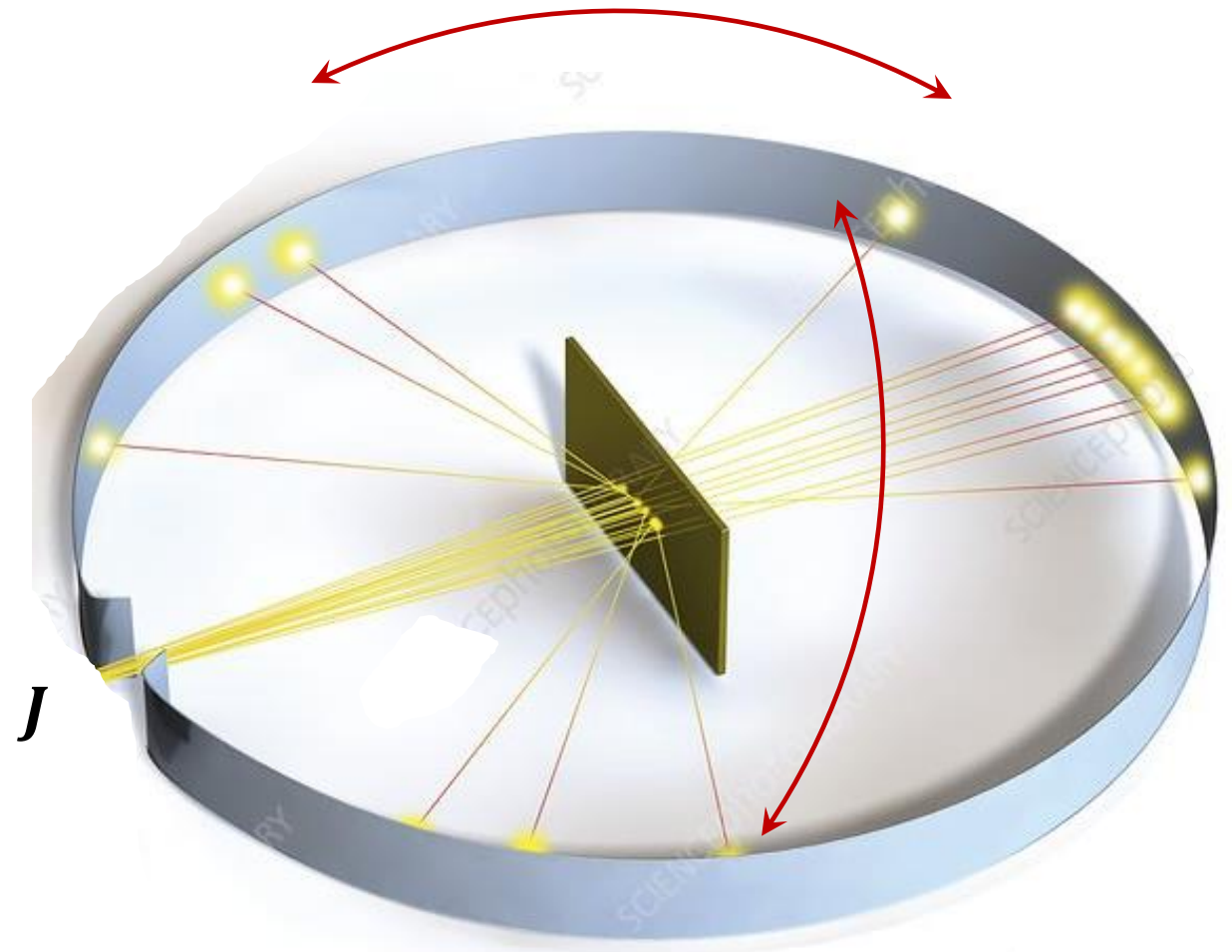
Einschub: Wirkungsquerschnitte

- Von $d\sigma/d\Omega$ zu σ_{tot}

$$\sigma_{tot} = \int \frac{d\sigma}{d\Omega} \cdot d\Omega$$

mit Polar- / Azimuth- Winkel
bei **azimuthaler Symmetrie**
(z.B. Coulomb-Streuung):

$$\sigma_{tot} \sim \int_0^\pi \frac{d\sigma}{d\Omega} \cdot \sin\theta \cdot d\theta$$

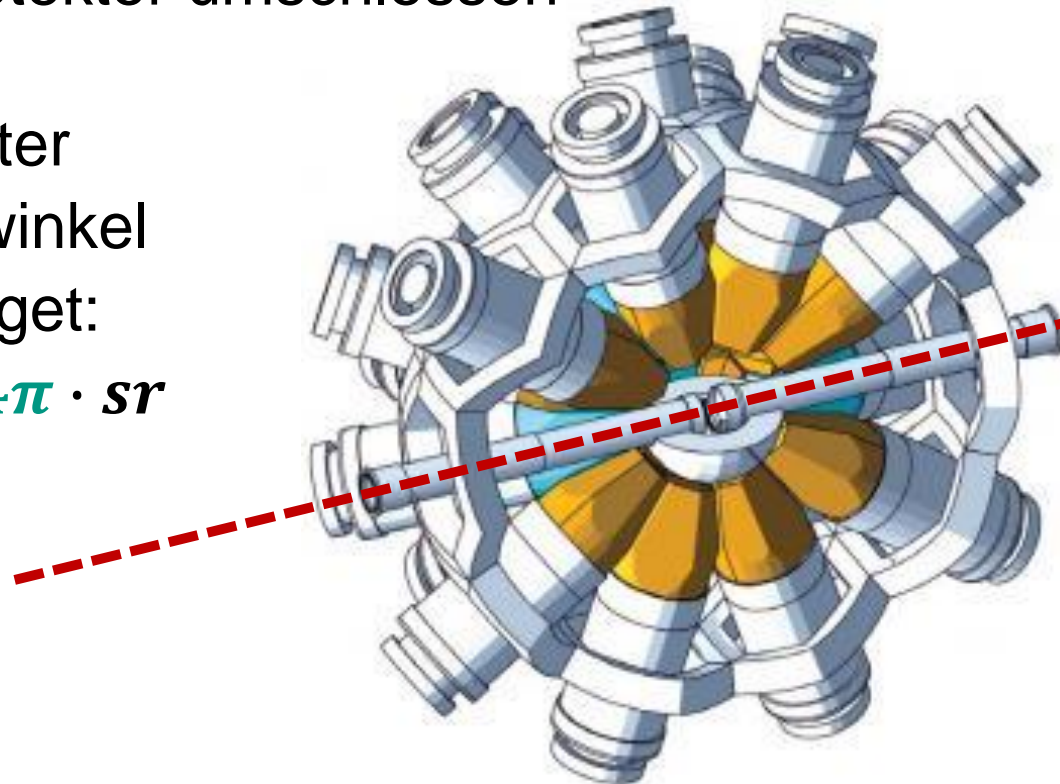


Experimente zur Messung von $d\sigma/d\Omega$

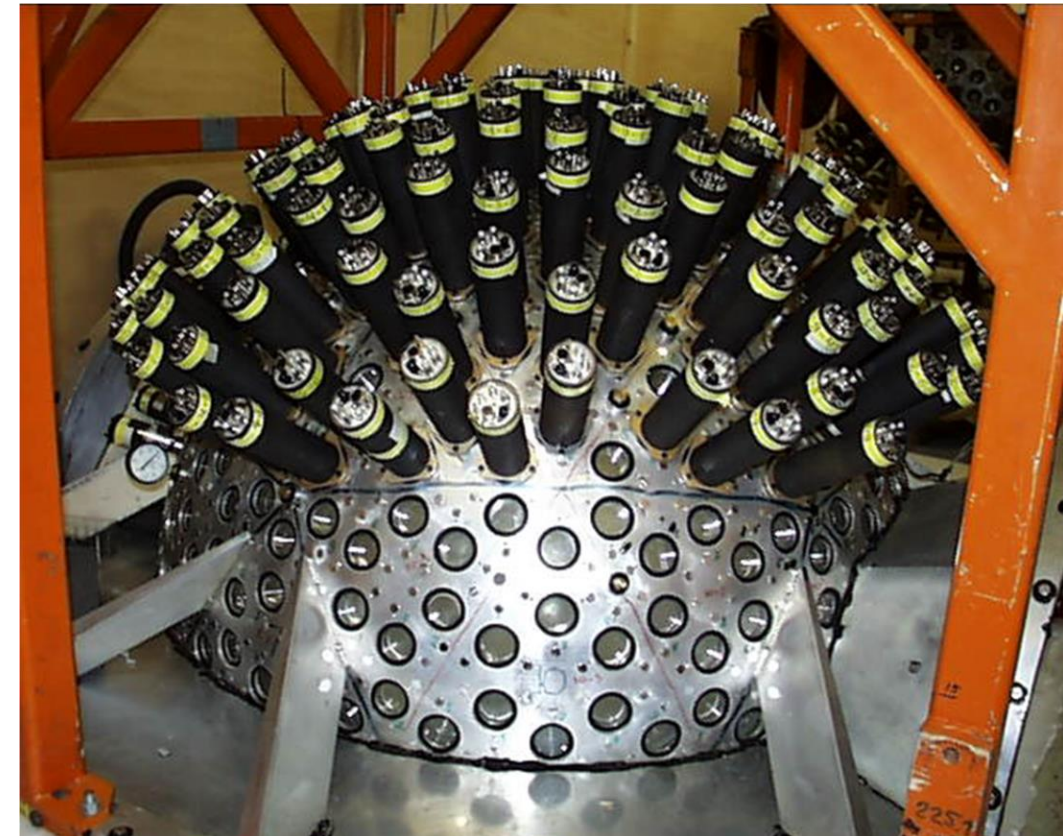
■ Geometrie von Streuexperimenten: 4π – Aufbau

- hier wird das Target praktisch vollständig vom Detektor umschlossen

- gesamter
Raumwinkel
um Target:
 $d\Omega = 4\pi \cdot sr$



4π – Gamma-Detektoren



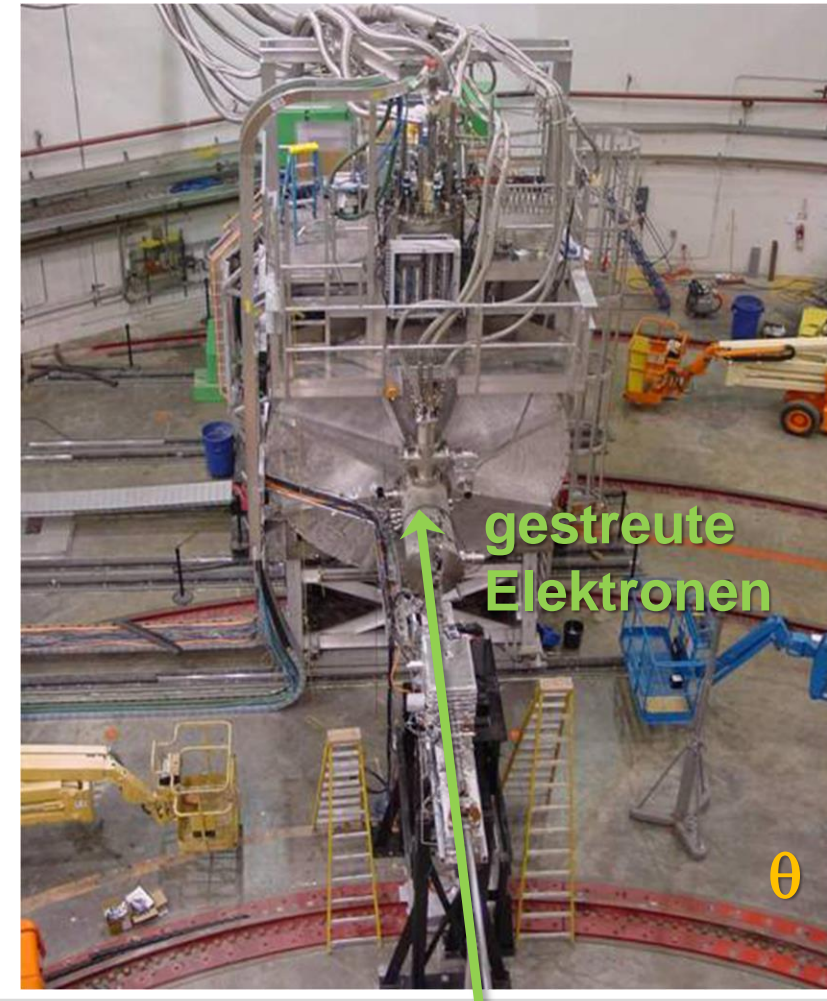
Experimente zur Messung von $d\sigma/d\Omega$

■ Geometrie von Streuexperimenten: **verfahrbarer Aufbau**

hier deckt der Detektor nur einen **sehr kleinen Winkelbereich** von gestreuten Teilchen (Elektronen) ab

oft sind die Detektoren verfahrbar angebracht (sofern der Platz verfügbar um das Target verfügbar ist)

verfahrbares Elektron-Spektrometer für $d\sigma/d\Omega$

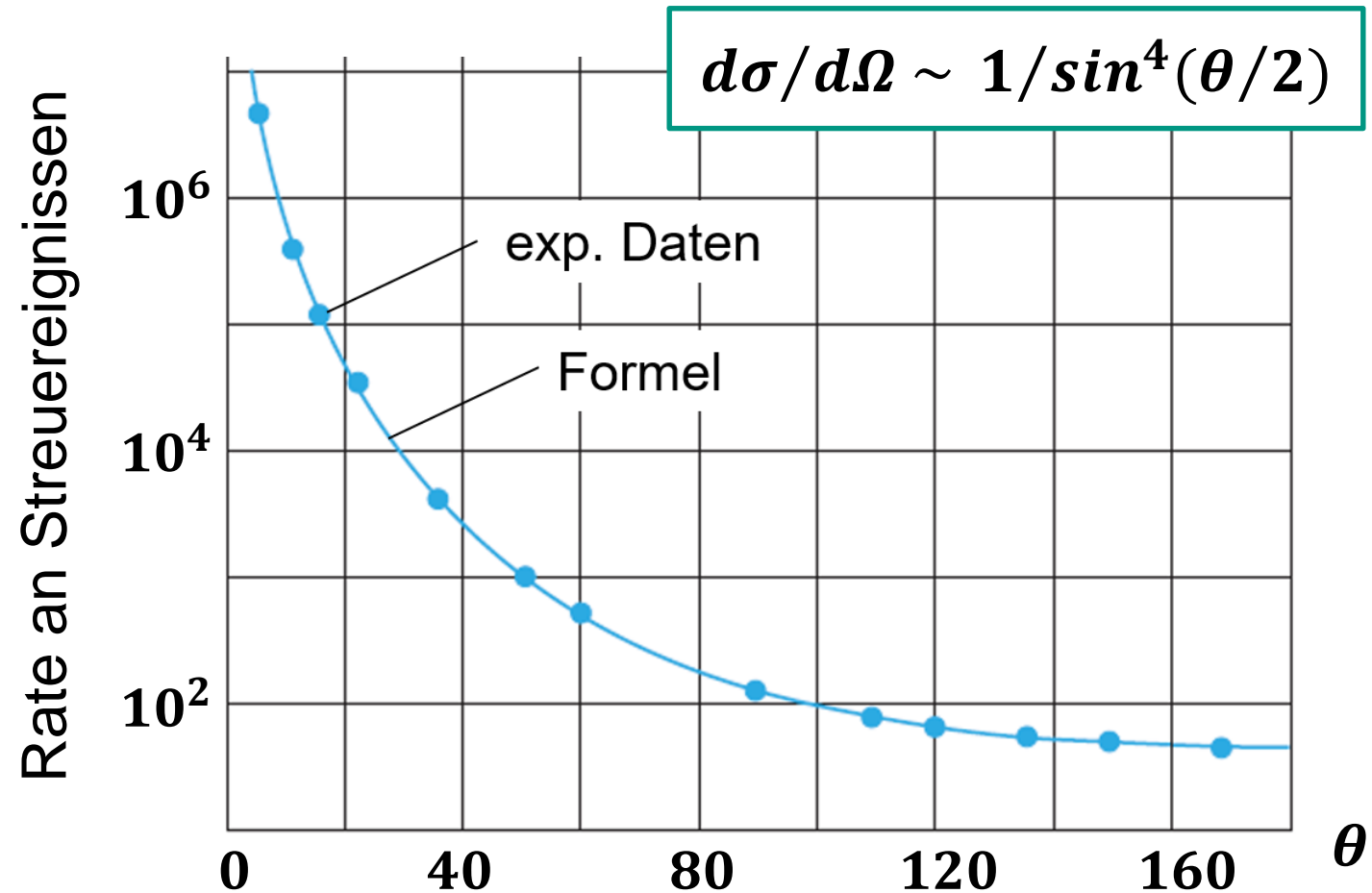
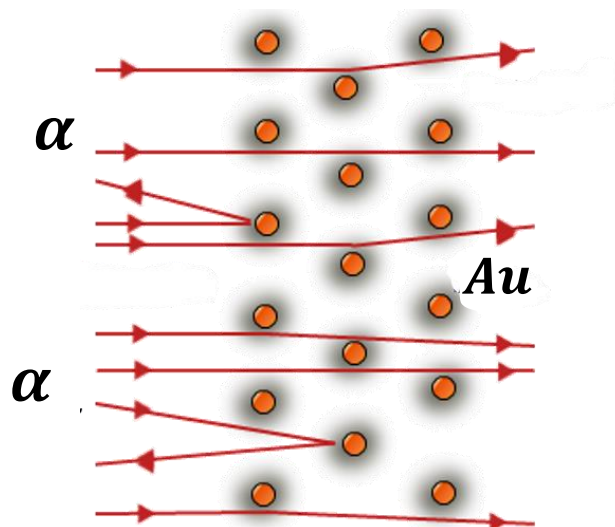


Target Exp. Teilchenphysik - ETP

Rutherford–Streuformel als Ausgangspunkt

■ Streuexperimente und differentieller Wirkungsquerschnitt $d\sigma/d\Omega$

- $d\sigma/d\Omega$ der Rutherford–Streuung:
kein Aufschluss über Größe der Kerne, da Streuung am **Coulomb–Potenzial mit punktförmigem Kern**



Rutherford-Streufornel: Annahmen

■ Voraussetzungen für 'klassische' Rutherford–Streuung

- **elastische Streuung** in konservativem Feld

⇒ Drehimpuls des α 's bleibt erhalten

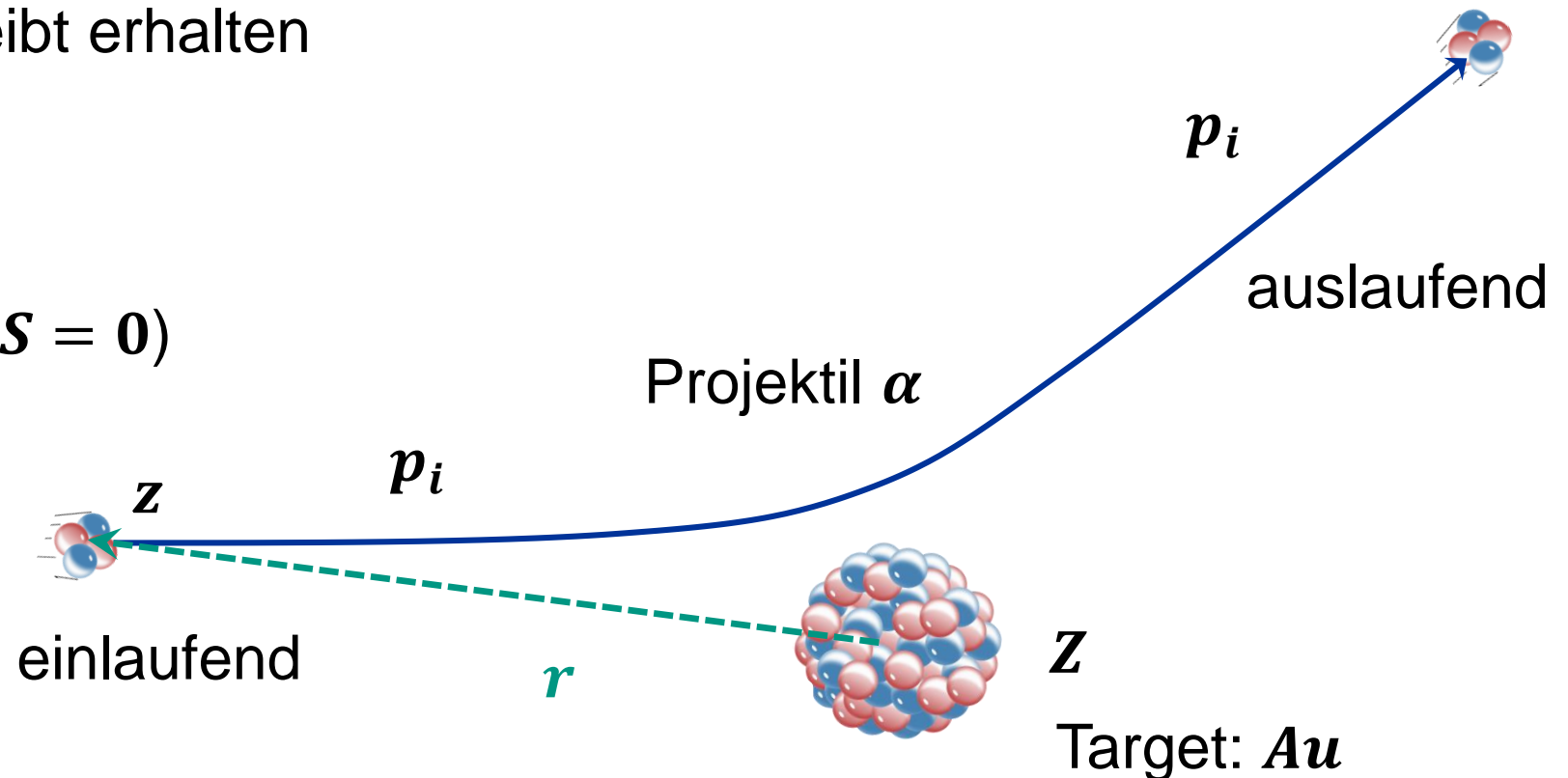
- **Projektil und Target:**

a) sind punktförmig

b) besitzen keinen Spin ($S = 0$)

c) Kernrückstoß
vernachlässigbar
(ortsfester Kern)

d) nur Einmal–
streuung

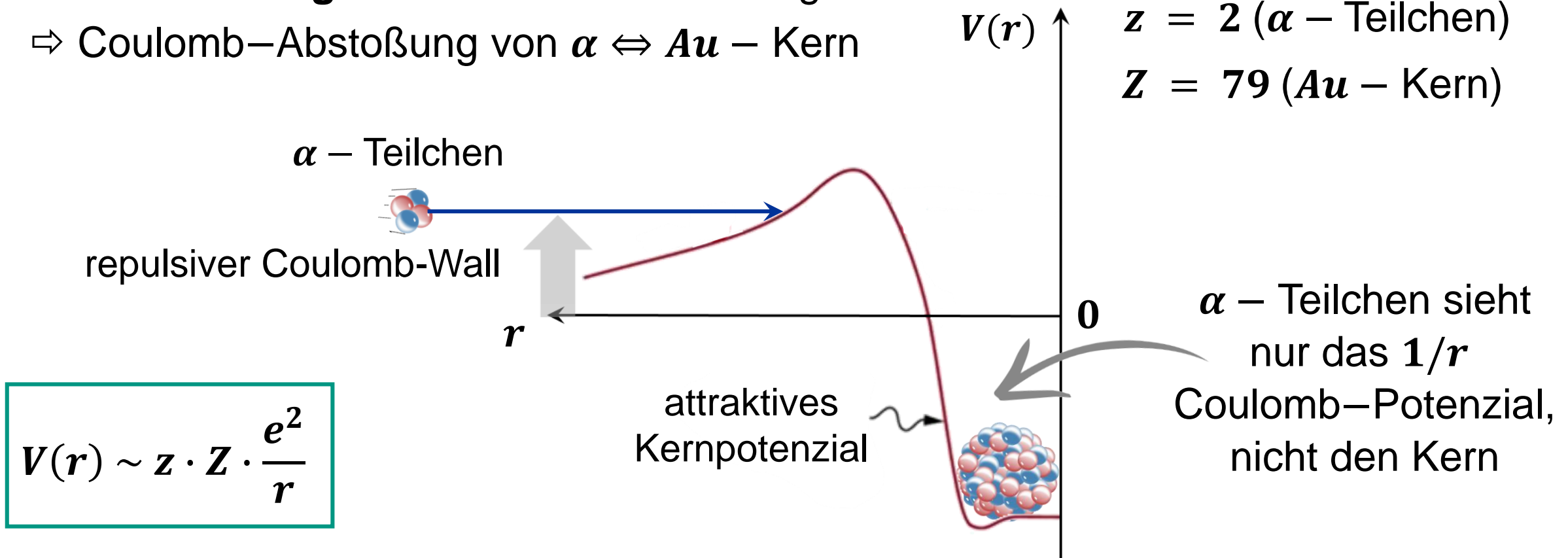


Rutherford-Streufornel: Annahmen

■ Voraussetzungen für 'klassische' Rutherford–Streuung

- rein elektromagnetische Wechselwirkung

⇒ Coulomb–Abstoßung von $\alpha \Leftrightarrow Au$ – Kern



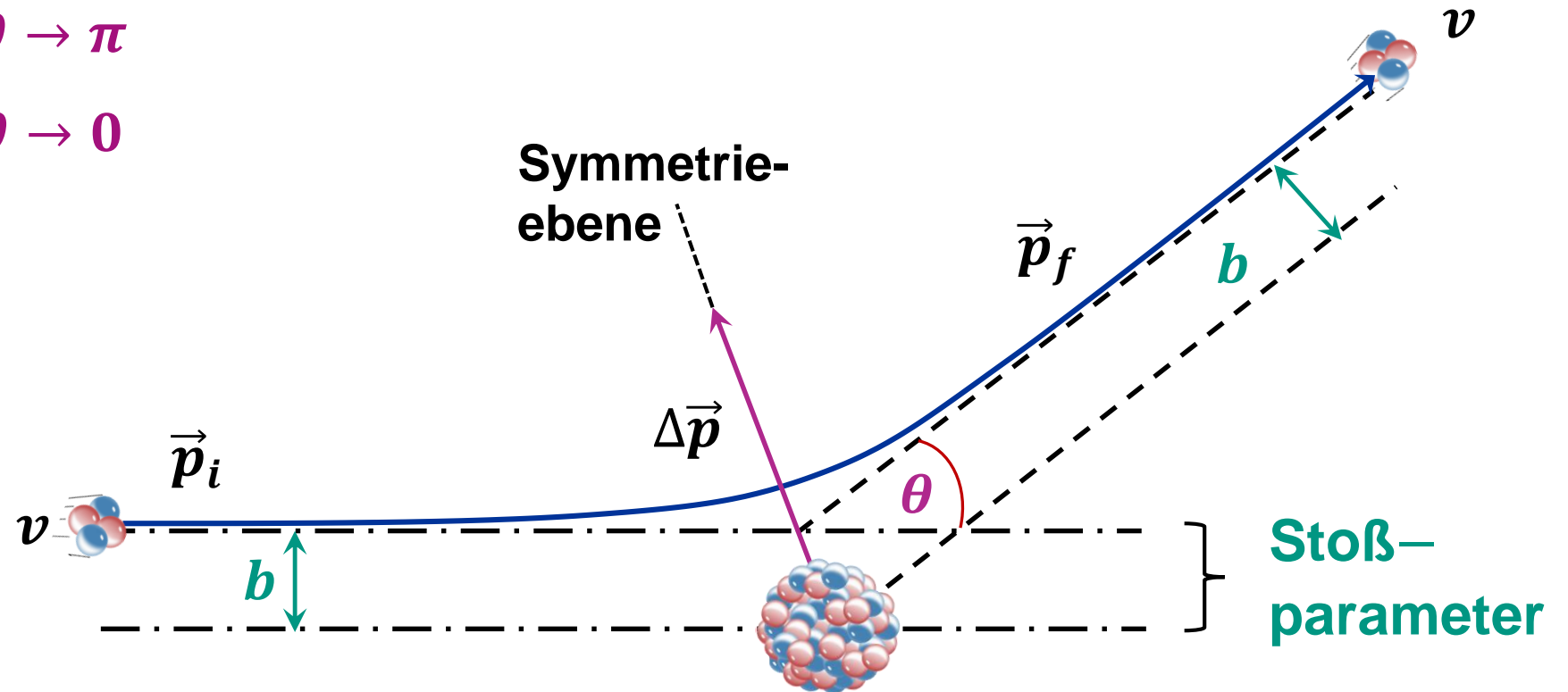
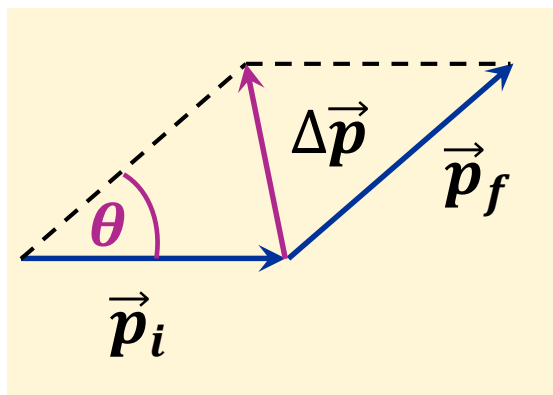
Rutherford-Streuformel: Stoßparameter

■ **Stoßparameter b** : legt den Streuwinkel θ der elastischen Streuung fest

- b : asymptotischer Abstand des α – Teilchens vom Kern mit $b = [0, \infty]$

klein: $b \rightarrow 0 \Rightarrow \theta \rightarrow \pi$

groß: $b \rightarrow \infty \Rightarrow \theta \rightarrow 0$



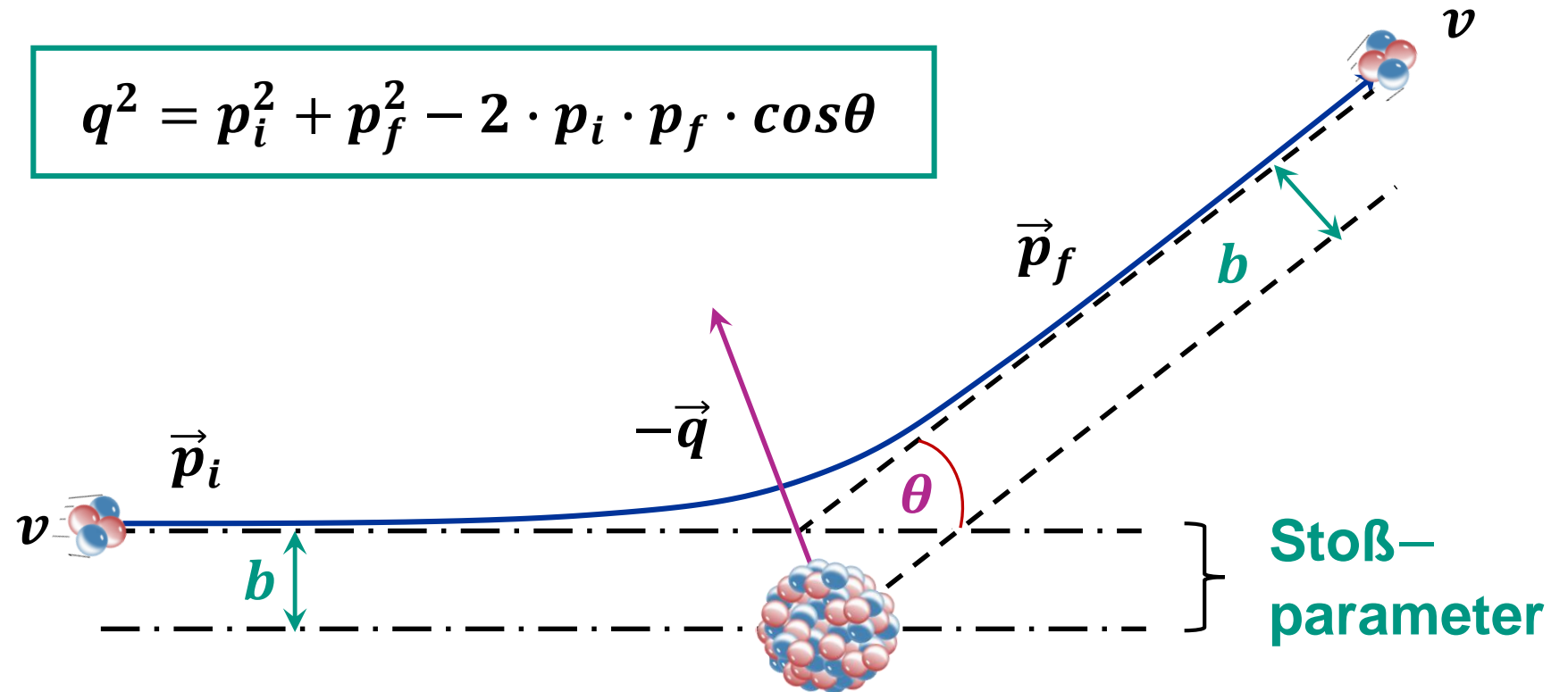
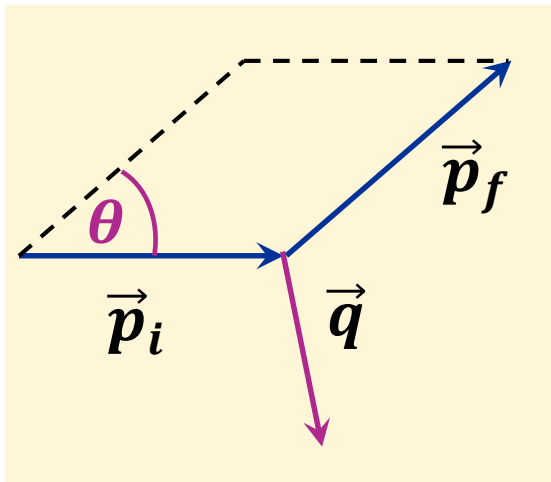
Rutherford–Streuformel: Impulstransfer

- **Impulstransfer \vec{q}** : wichtige kinematische Größe bei elastischer Streuung

$$\vec{q} = \vec{p}_i - \vec{p}_f$$

Betrag $q = |\vec{q}|$

$$q^2 = p_i^2 + p_f^2 - 2 \cdot p_i \cdot p_f \cdot \cos\theta$$



Stoßparameter

Rutherford–Streuformel: Propagatorterm

- **Impulstransfer \vec{q}** : bei elastischer Streuung ohne Kernrückstoß

$$\vec{p}_i = \vec{p}_f = \vec{p}$$

Betrag $q = |\vec{q}|$

$$q^2 = 2 \cdot p^2 \cdot (1 - \cos\theta) = 4 \cdot p^2 \cdot \sin^2\left(\frac{\theta}{2}\right)$$

$$\longrightarrow q = 2 \cdot p \cdot \sin\left(\frac{\theta}{2}\right)$$



$$d\sigma/d\theta \sim 1/\sin^4(\theta/2)$$

$$d\sigma/d\Omega \sim (2 \cdot m_e \cdot Z \cdot \alpha)^2 \cdot 1/q^4$$

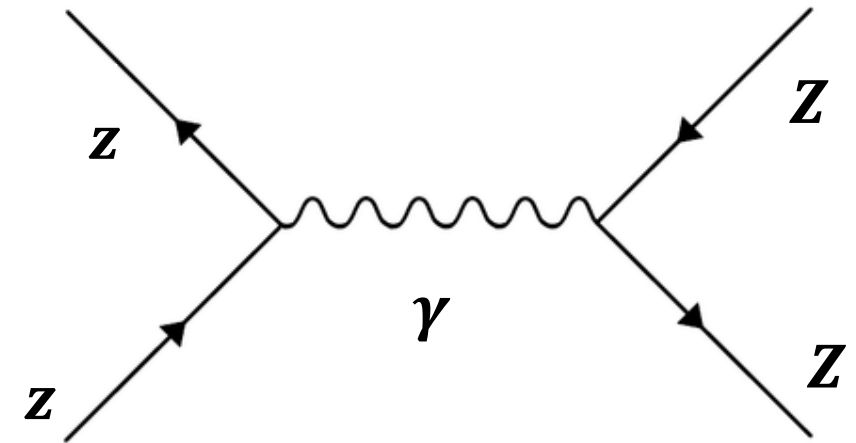
Rutherford–Streuformel: Propagatorterm

- **Impulstransfer \vec{q}** : mit Feynman–Diagrammen geht's ganz einfach...



Richard Feynman

Photon–Propagator $\sim (1/q^2)^2$



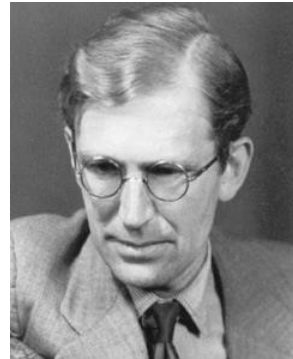
$$d\sigma/d\theta \sim 1/\sin^4(\theta/2)$$

$$d\sigma/d\Omega \sim (2 \cdot m_e \cdot Z \cdot \alpha)^2 \cdot 1/q^4 \sim 1/q^4$$

Jenseits von Rutherford: Mott–Streuung, ...

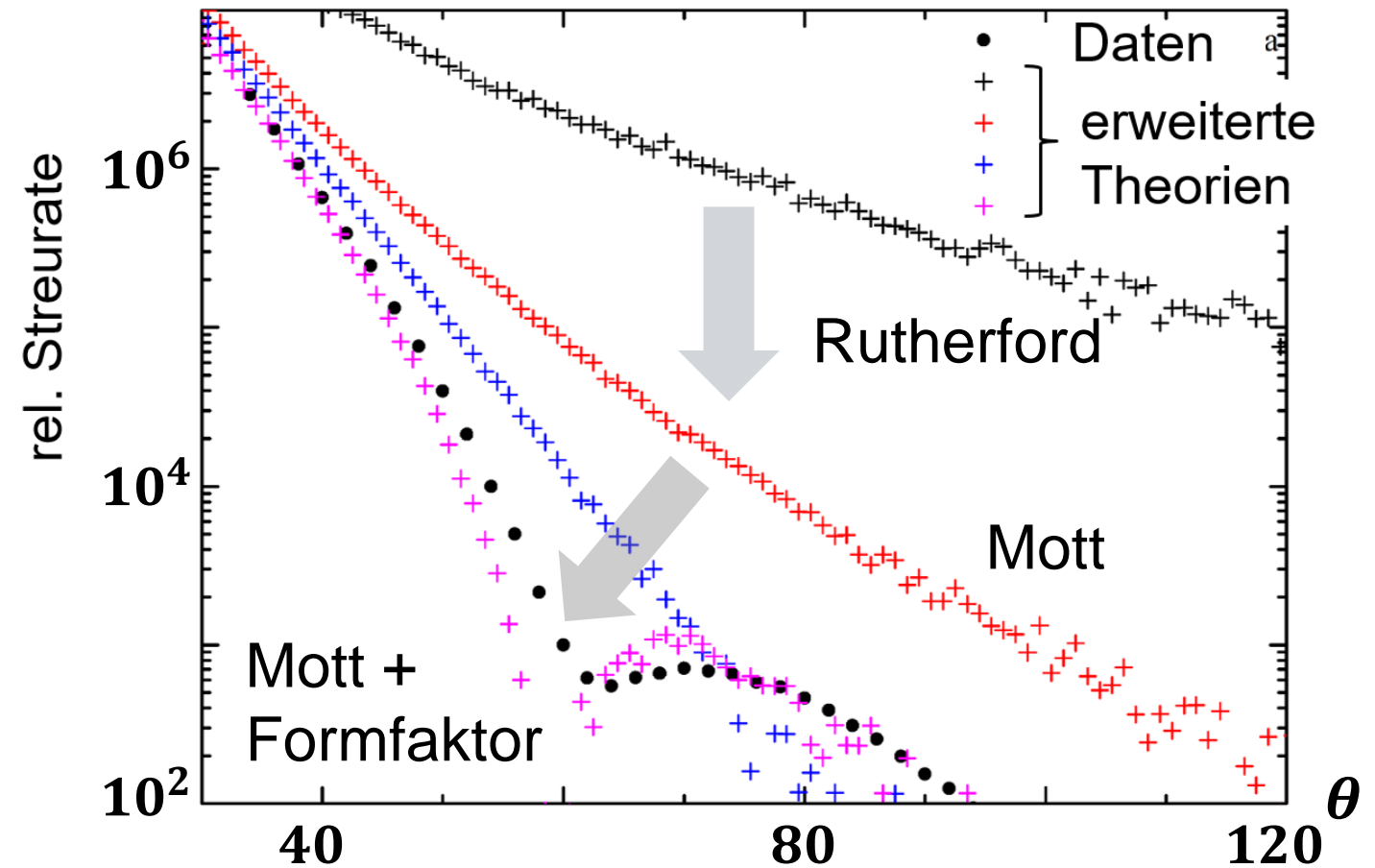
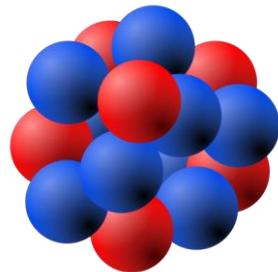
■ Berücksichtigung weiterer Faktoren bei Streuprozessen

- relativistische Effekte Projektil
- Projektil–Spin



Nevill F. Mott

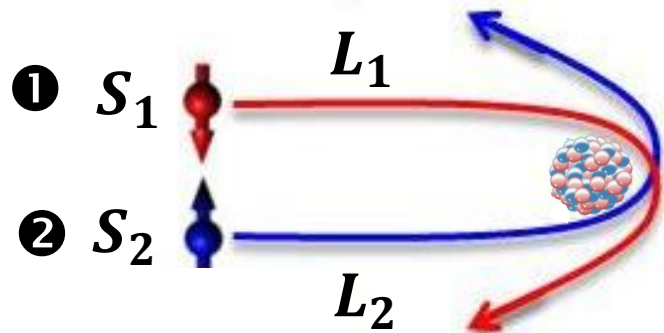
- endliche Kernausdehnung (**Formfaktoren**)



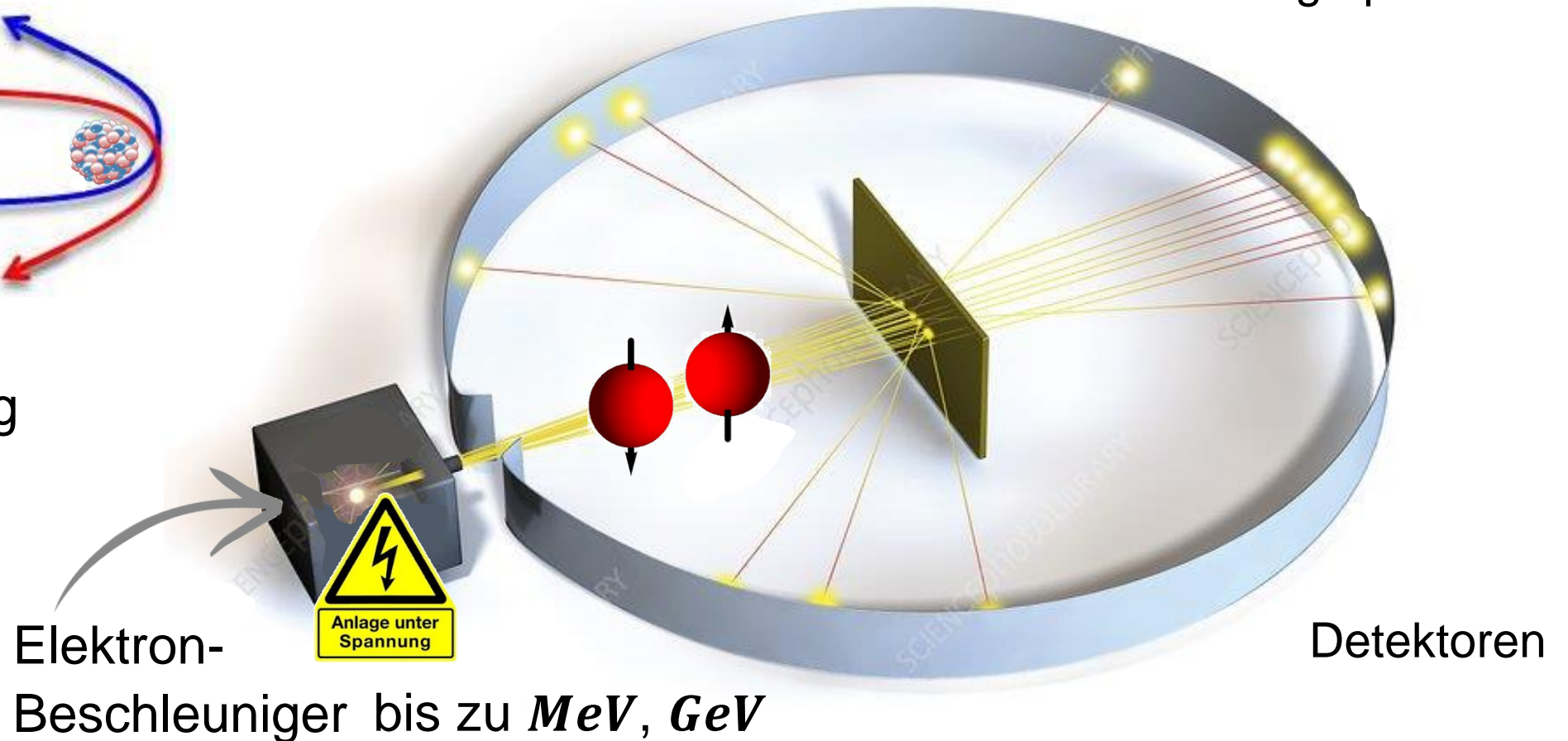
Mott–Streuung

■ Streuung von Projektilen mit Spin (Elektron, Proton,...)

differentieller
Wirkungsquerschnitt



LS Kopplung



Mott–Streuung

■ Streuung von Projektilen mit Spin (Elektron, Proton,...)

- Streuung hochenergetischer, relativistischer Spin $S = 1/2$ Teilchen an einem **punktförmigem Target**

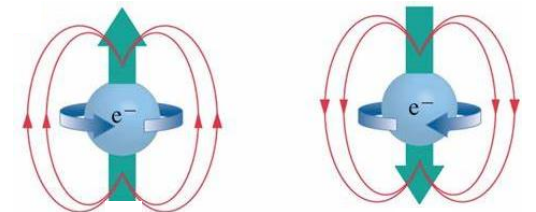
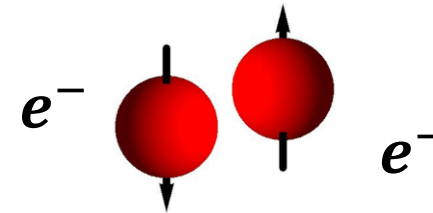
- Berücksichtigung von:

- relativistische Effekte

- Rückstoß–Energie übertragen auf Kern

- **Spin–Bahn Kopplung** bei Streuprozess für polarisierte e^-

- Wechselwirkung über magnetisches Dipol–Moment $\vec{\mu}$ des Teilchens (**magnetischer Streuterm**)

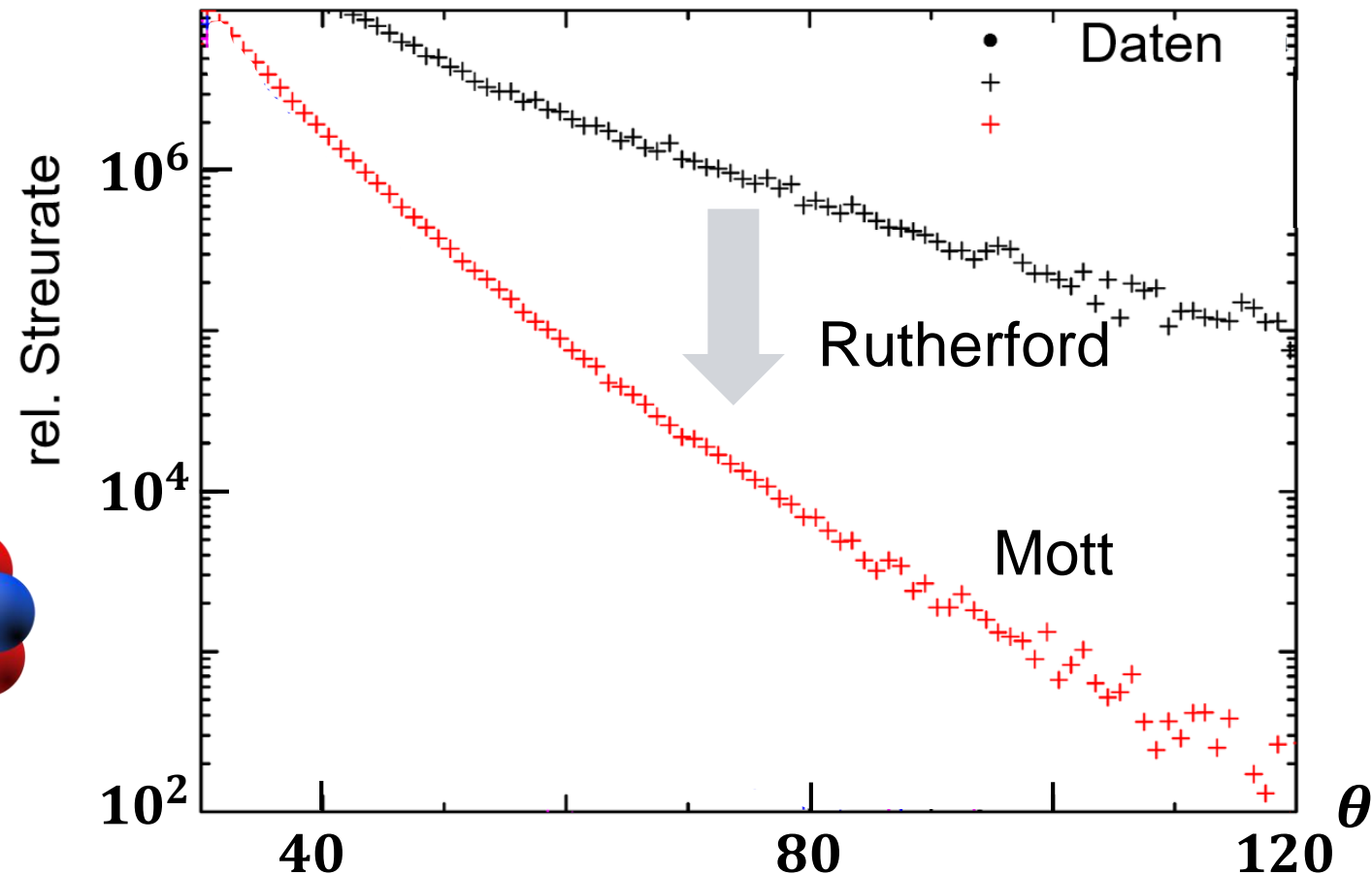
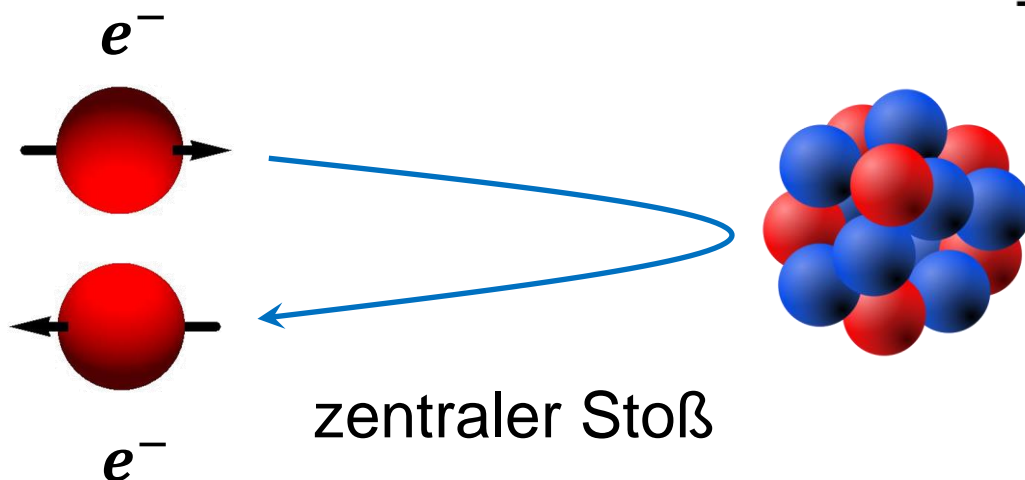


Mott–Streuung

■ Unterdrückung der Rückwärts–Streuung für Projektile mit Spin $S = 1/2$

- bei longitudinal polarisierten Elektronen müsste bei der Rückstreuung ($\theta = 180^\circ$) der Spin S umklappen:

⇒ **starke Unterdrückung!**



Mott–Streuung

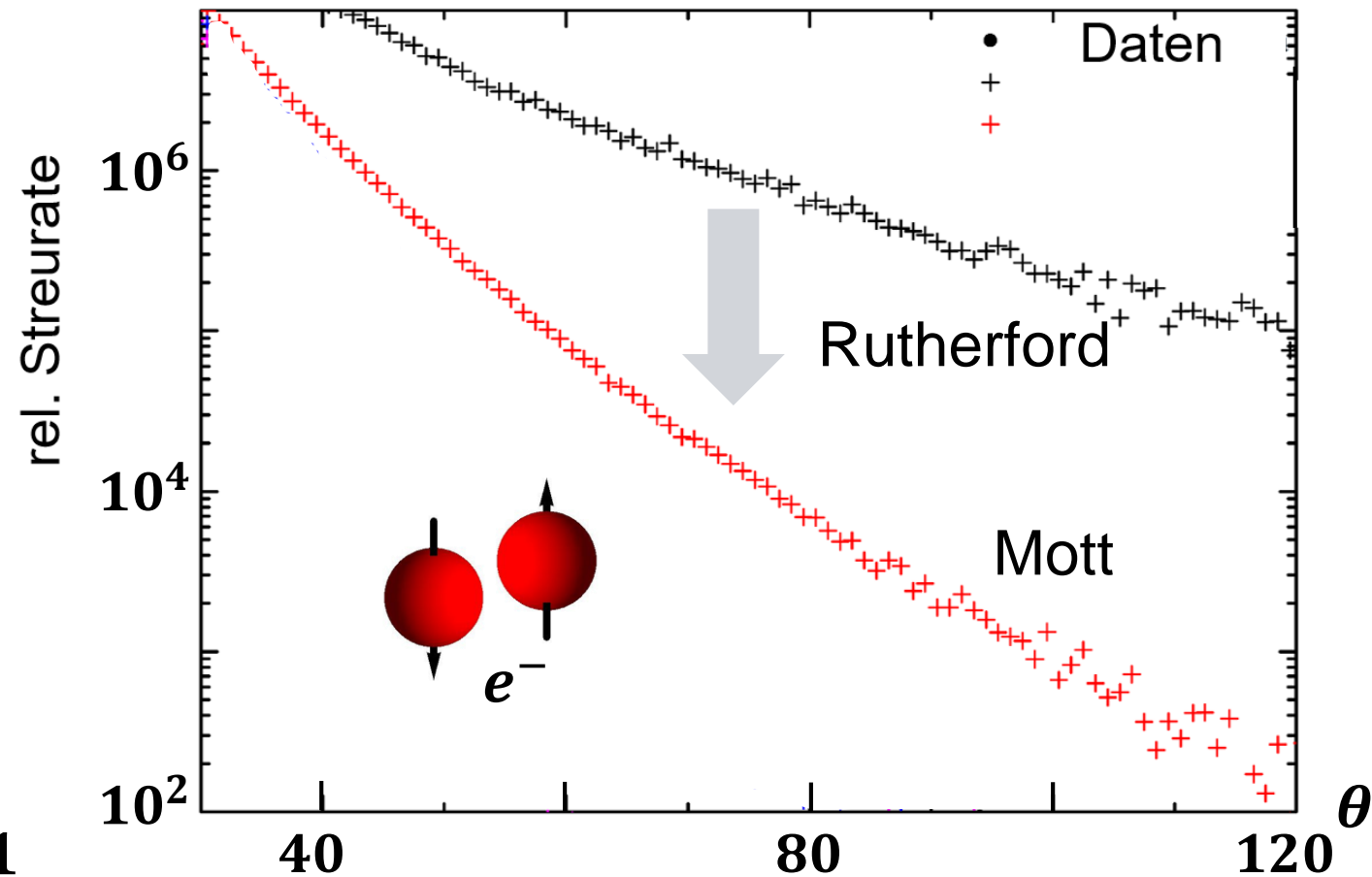
- Unterdrückung der Rückwärts–Streuung für Projektile mit Spin $S = 1/2$

$d\sigma/d\Omega$ deutlich kleiner für große Streuwinkel $\theta \rightarrow \pi$

$$\left(\frac{d\sigma}{d\Omega}\right)_{Mott} = \left(\frac{d\sigma}{d\Omega}\right)_{Rutherford} \cdot \left(1 - \beta^2 \cdot \sin^2 \frac{\theta}{2}\right)$$

$$\left(\frac{d\sigma}{d\Omega}\right)_{Mott} = \left(\frac{d\sigma}{d\Omega}\right)_{Rf} \cdot \cos^2 \left(\frac{\theta}{2}\right)$$

$\beta \rightarrow 1$



QUIZ: Streuprozesse bei hohen Energien

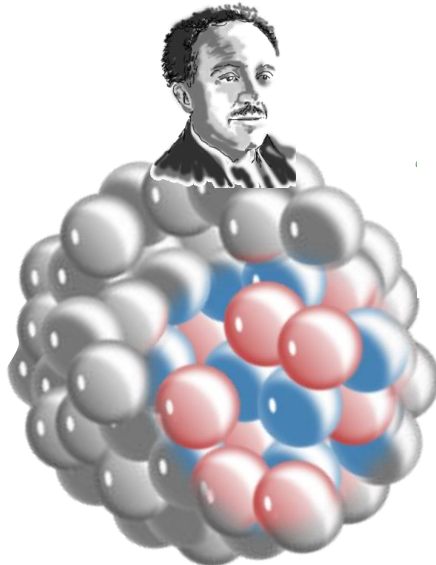
■ Frage: wieso wird $d\sigma/d\Omega$ immer kleiner für hohe Energien? Da ...

A) ...dann **nur ein Teil des Kerns** sichtbar!

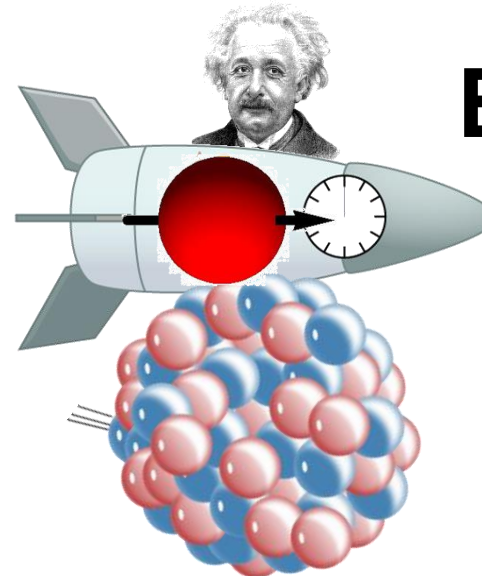
B) ... dann **die Zeit für Teilchen anders** läuft !

C) ... dann der **Kern gestaucht** erscheint !

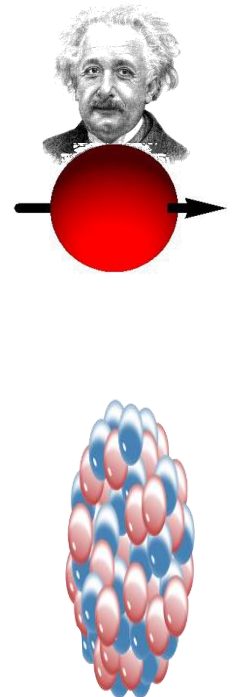
A



B

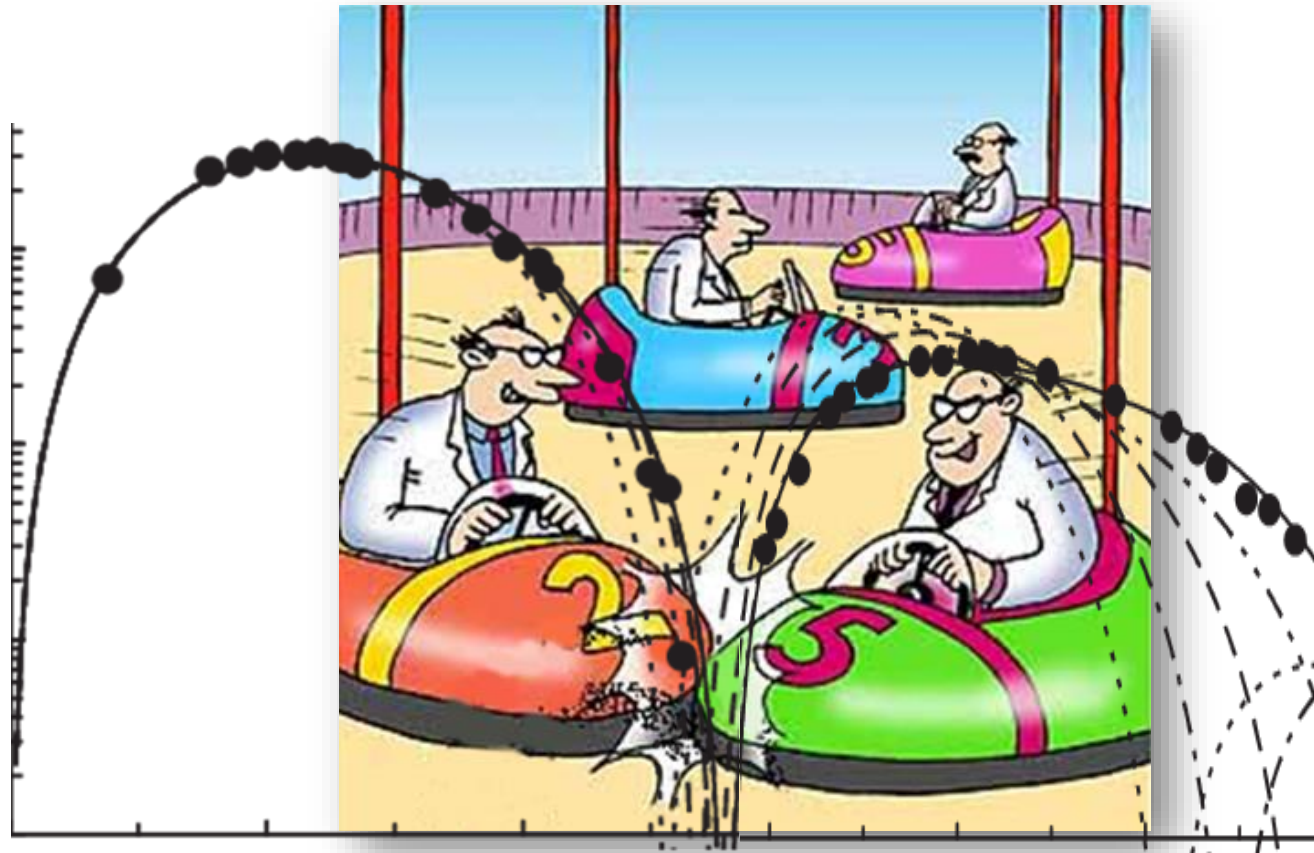


C



10.3 Kernradien und Formfaktoren

■ Streuung an ausgedehnten Objekten

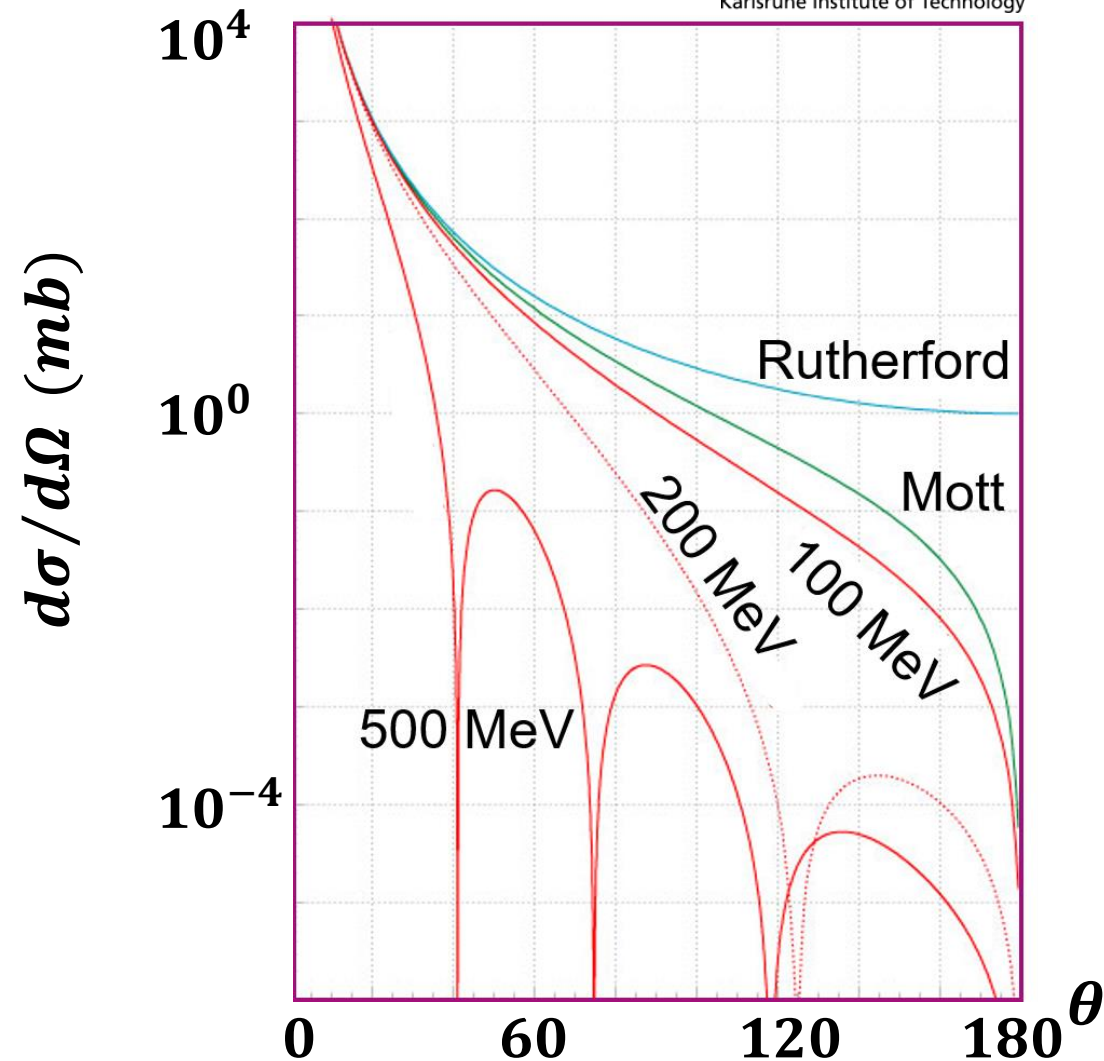


De-Broglie Wellenlänge des Projektils

■ Streuung bei hohen Elektronenenergien

- Mott-Streuformel nur für kleinen Impulstransfer q ($\theta \rightarrow 0$) korrekt
- für höhere Elektron-Impulse p :
de-Broglie Wellenlänge λ wichtig

$$\lambda = \frac{2\pi \cdot \hbar}{p} = \frac{2\pi \cdot \hbar}{\gamma \cdot m \cdot v}$$

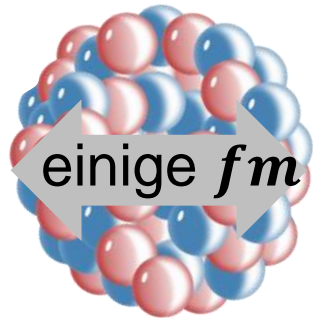


Wellennatur des Projektils & Kernausdehnung

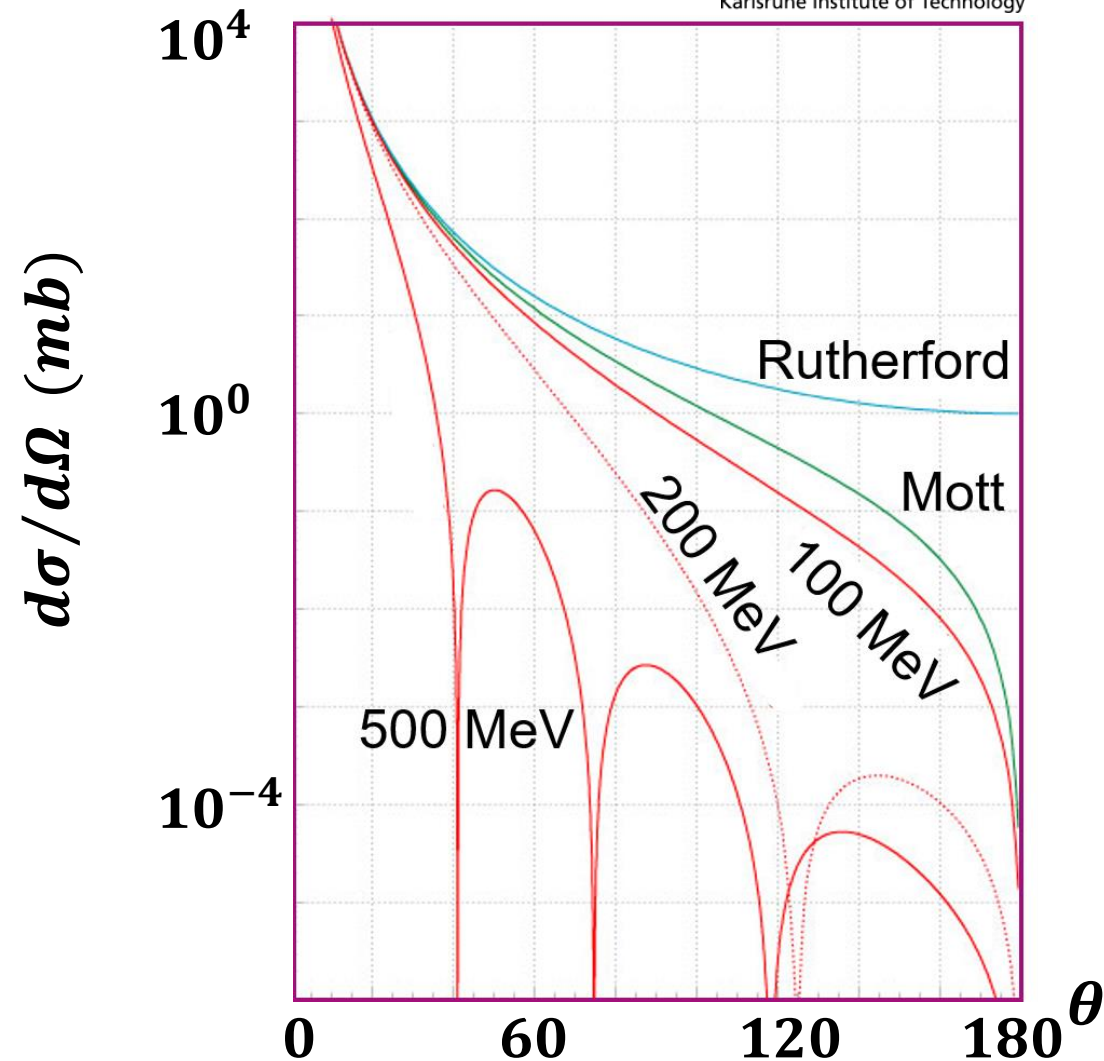
■ Streuung bei hohen Elektronenenergien

- Effekte der Wellennatur der Elektronen sind spürbar ab

$$\lambda (\text{Projektil}) \sim R (\text{Kern})$$



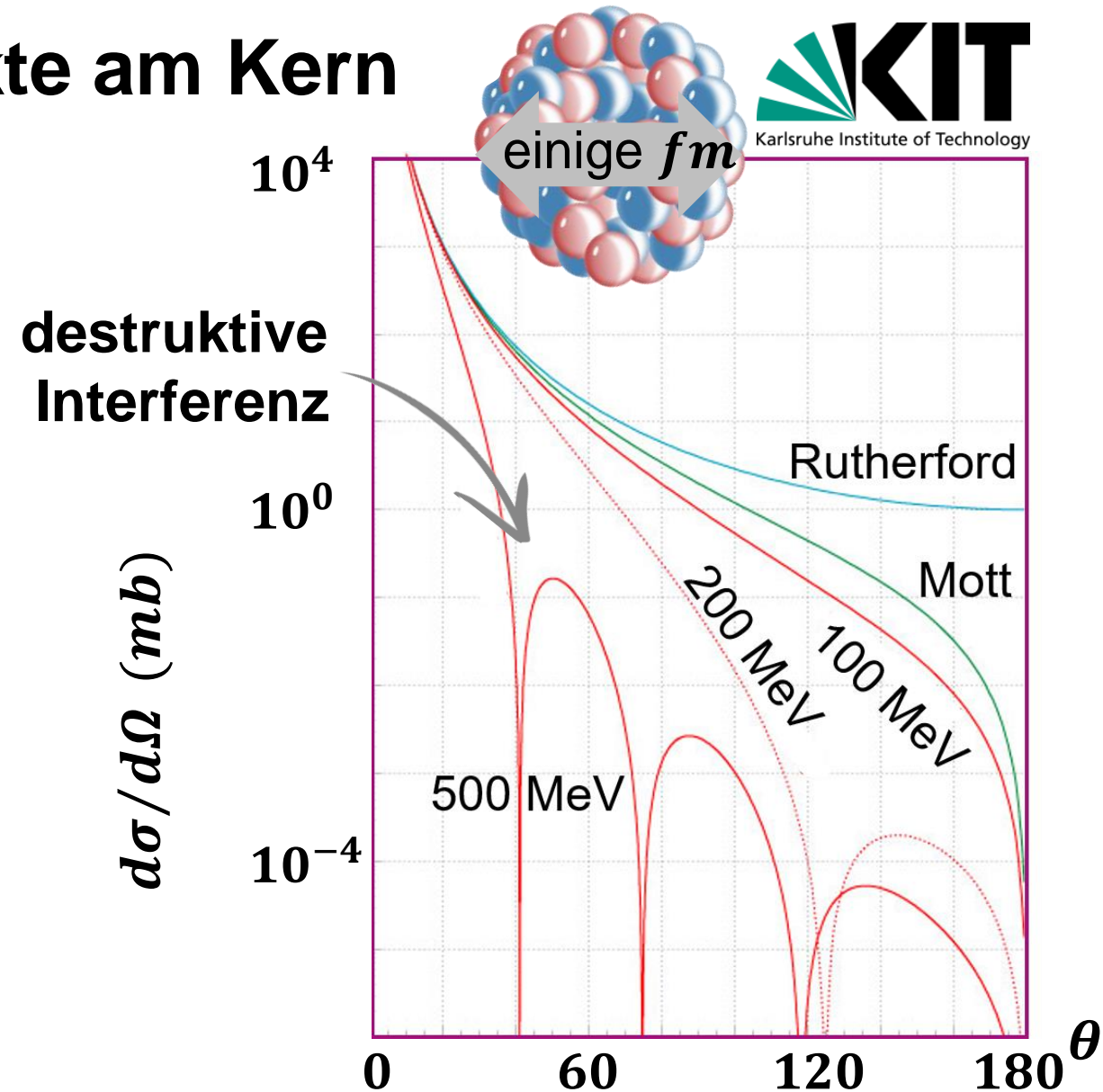
$$200 \text{ MeV}/c = 1 \text{ fm}^{-1}$$



Resultierende Beugungseffekte am Kern

■ Streuung ausgedehnten Kern

- hochenergetisches Elektron „tastet“ Kerngröße ($r \sim fm$) ab
- Reduktion von $d\sigma/d\Omega$ da das e^- nur „einen Teil“ der Kernladung Z sieht
- Auftreten von **Interferenzen**: Elektron-Welle wird am endlichen Kernrand gebeugt: destruktive Interferenz (s. Doppelspalt)
⇒ **Bestimmung von R**



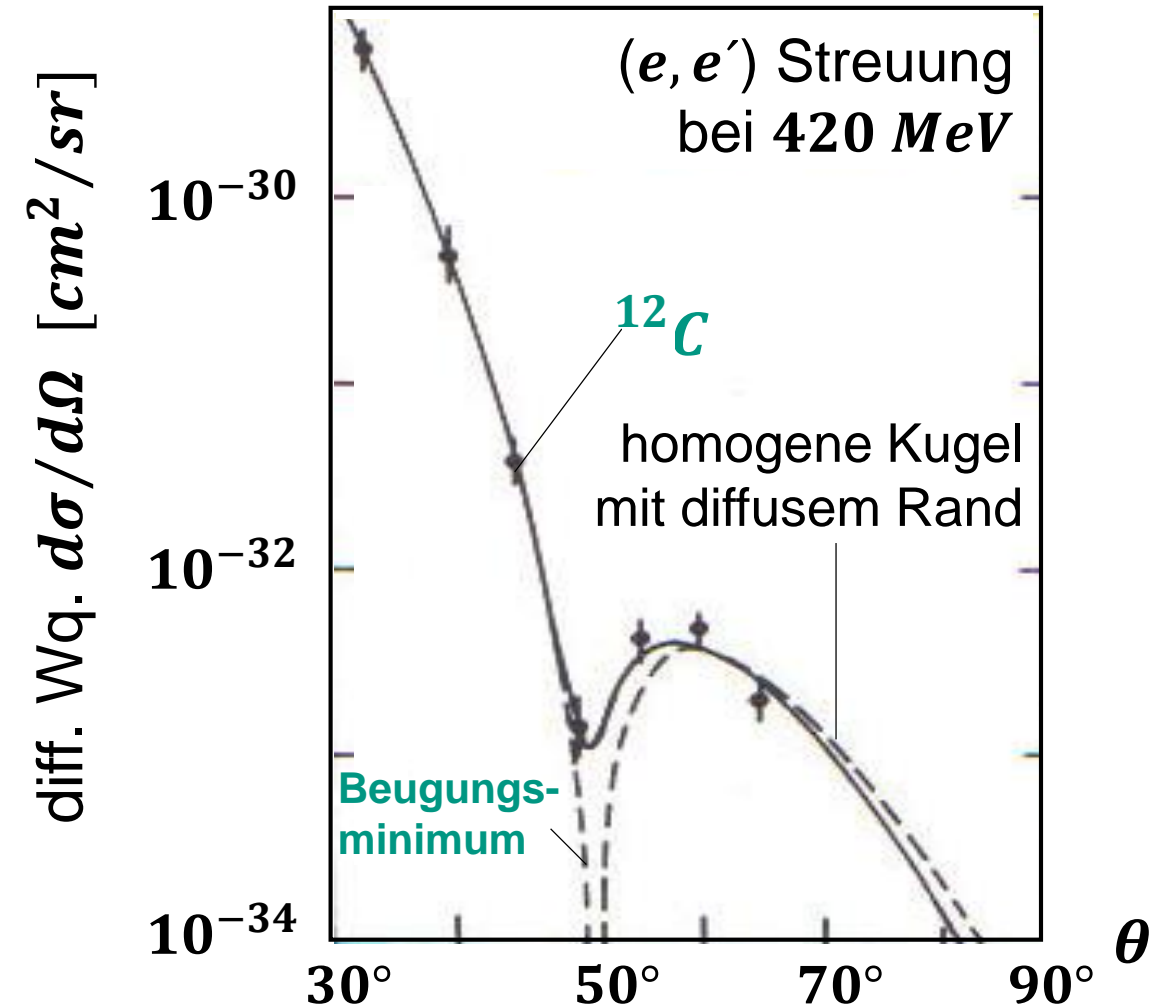
Formfaktoren und Ladungsverteilung

■ Verknüpfung über Fourier- transformation

- Modifikation von $d\sigma/d\Omega$ durch endliche Kernausdehnung wird parametrisiert durch **Formfaktor**

$$\left(\frac{d\sigma}{d\Omega}\right)_{exp} = \left(\frac{d\sigma}{d\Omega}\right)_{Mott} \cdot |F(q^2)|^2$$

- Formfaktoren sind wichtig ab einem Impulstransfer $q \sim 1/R$, d.h. $q \sim 200 \text{ MeV}/c$



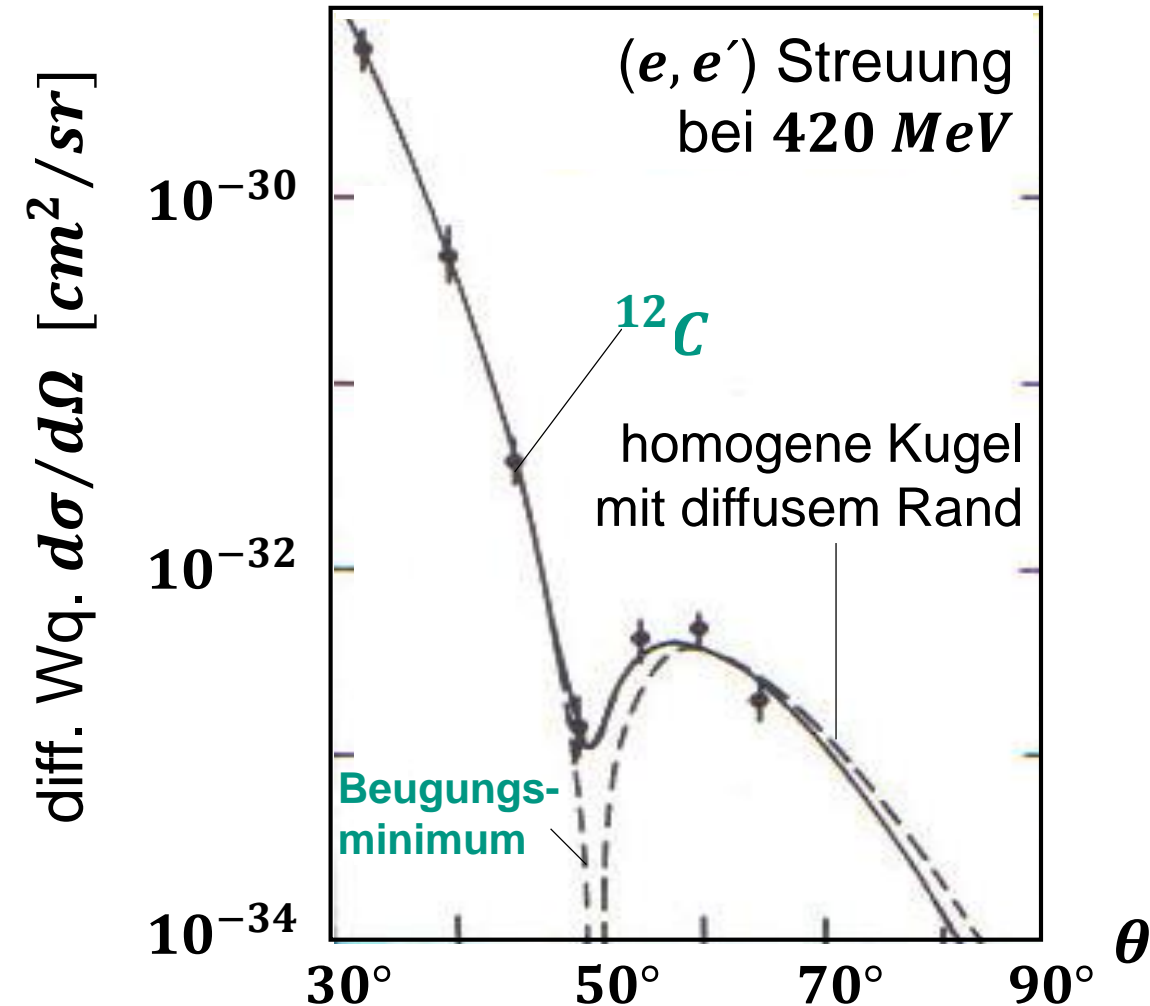
Formfaktoren und Born'sche Näherung

■ Kern-Ladungsverteilung $\rho(r)$

- Born'sche Näherung:
Beugung einer ebenen Welle
(hier e^-) an einer **Scheibe mit diffusem Rand**
- Formfaktor $F(q^2)$ und Ladungsverteilung des Kernes $\rho(r)$

$$F(q^2) = \int \rho(r) \cdot e^{iq \cdot r} dr$$

$$\text{Normierung: } \int \rho(r) \cdot dr = 1$$



Formfaktoren und Ladungsverteilung: Beispiele

punktförmig

$$\rho(r) = \delta(r)/4\pi$$

exponentiell

$$\rho(r) \sim e^{-(r/a)}$$

gaußförmig

$$\rho(r) \sim a^{-3} \cdot e^{-(r^2/2a^2)}$$

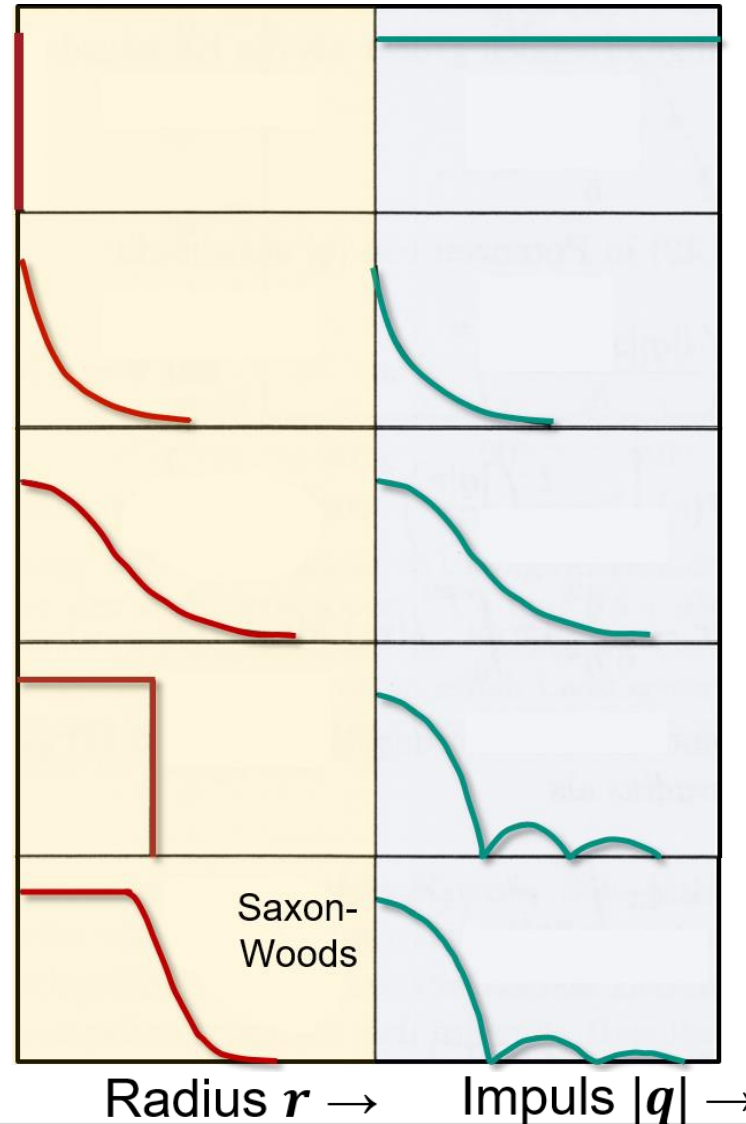
homogene Kugel

$$\rho(r) = \text{const.} \quad (r < a)$$

$$\rho(r) = 0 \quad (r \geq a)$$

Kugel mit diffusem Rand

$$\rho(r) = r_0 / (1 + e^{(r-a)/d})$$



konstant

$$F(q^2) = 1$$

Dipol

$$F(q^2) = 1 / (1 + a^2 q^2)^2$$

gaußförmig

$$F(q^2) = e^{-1/2(a^2 q^2)}$$

Oszillation

$$F(q^2) \sim \sin(aq) - a \cdot q \cdot \cos(aq)$$

verwaschene Oszillation